

# **Evolution génétique virale**

*causes et conséquences*

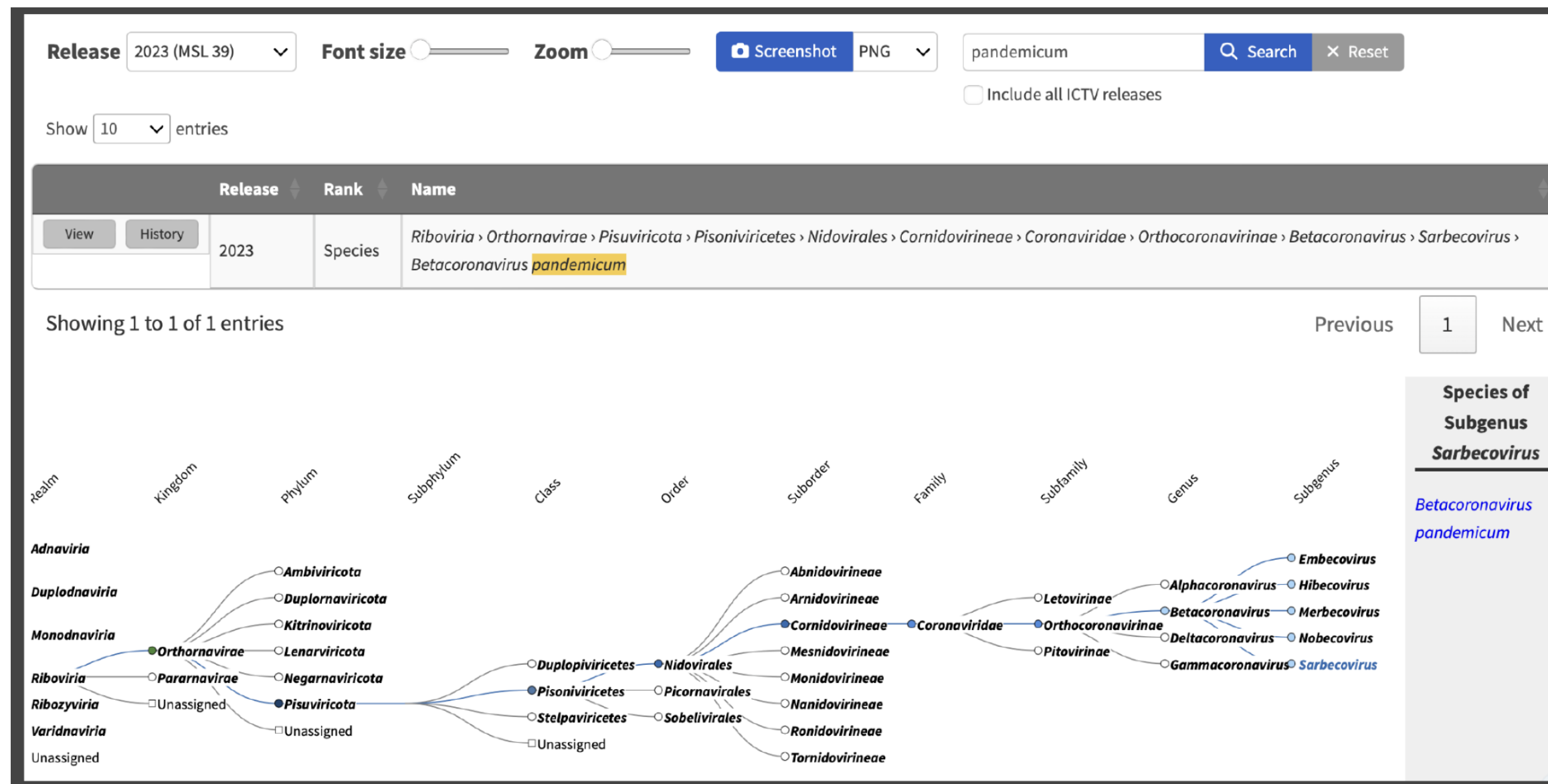
UE M1 Microbiologie  
06 février 2026 Dr C.Bressollette-Bodin

- Evolution génétique virale = changements dans la structure génétique d'une population virale
- Facteurs d'évolution multiples
  - Hôte infecté
  - Vecteur
  - Environnement
  - Virus
- Conséquences
  - Nouveaux variants > souches > espèces
  - Nouvelles propriétés biologiques > nouvel hôte

# Taxonomie - classification

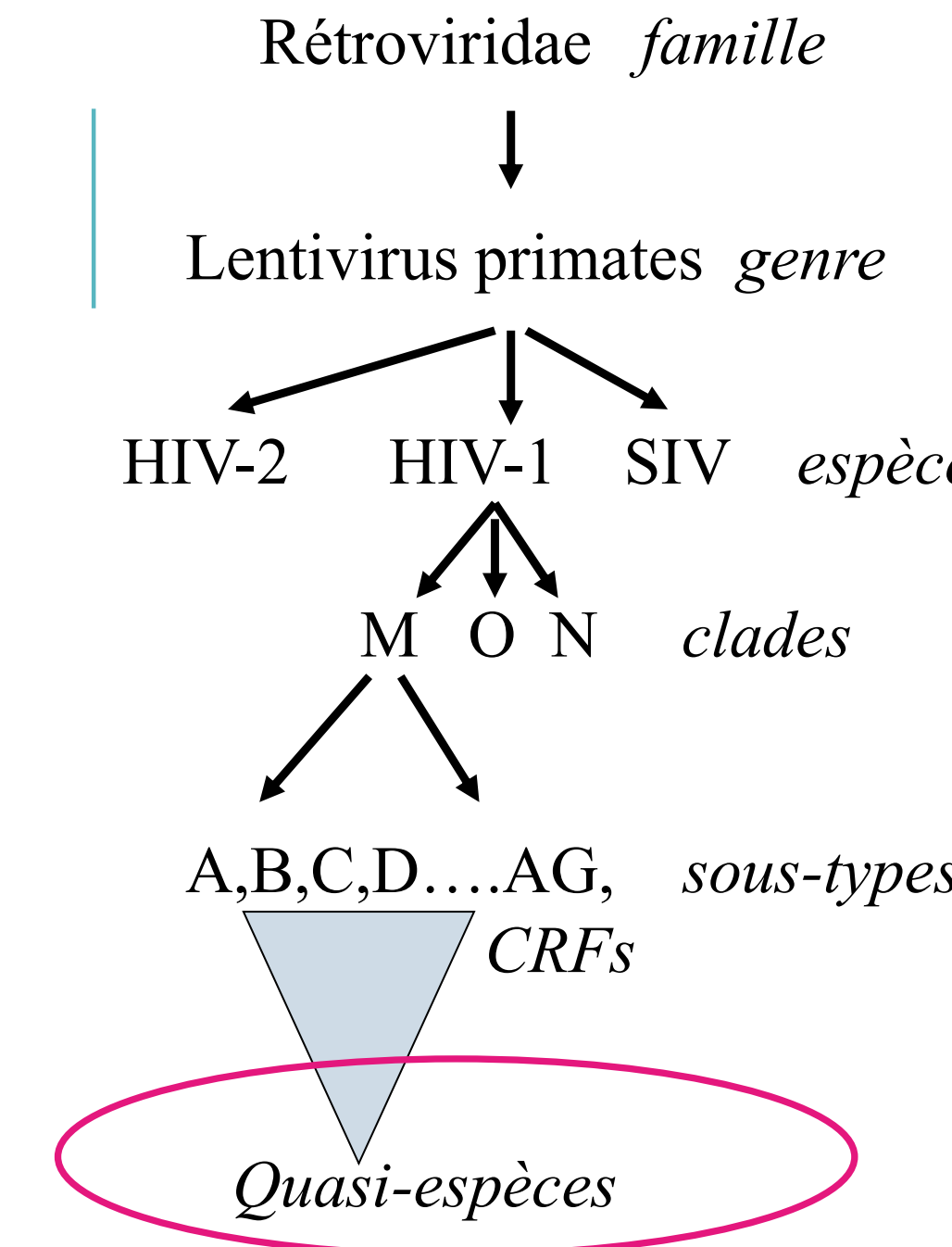
- ICTV = International Committee on Taxonomy of Virus

<https://ictv.global/news/search-visual-browser>



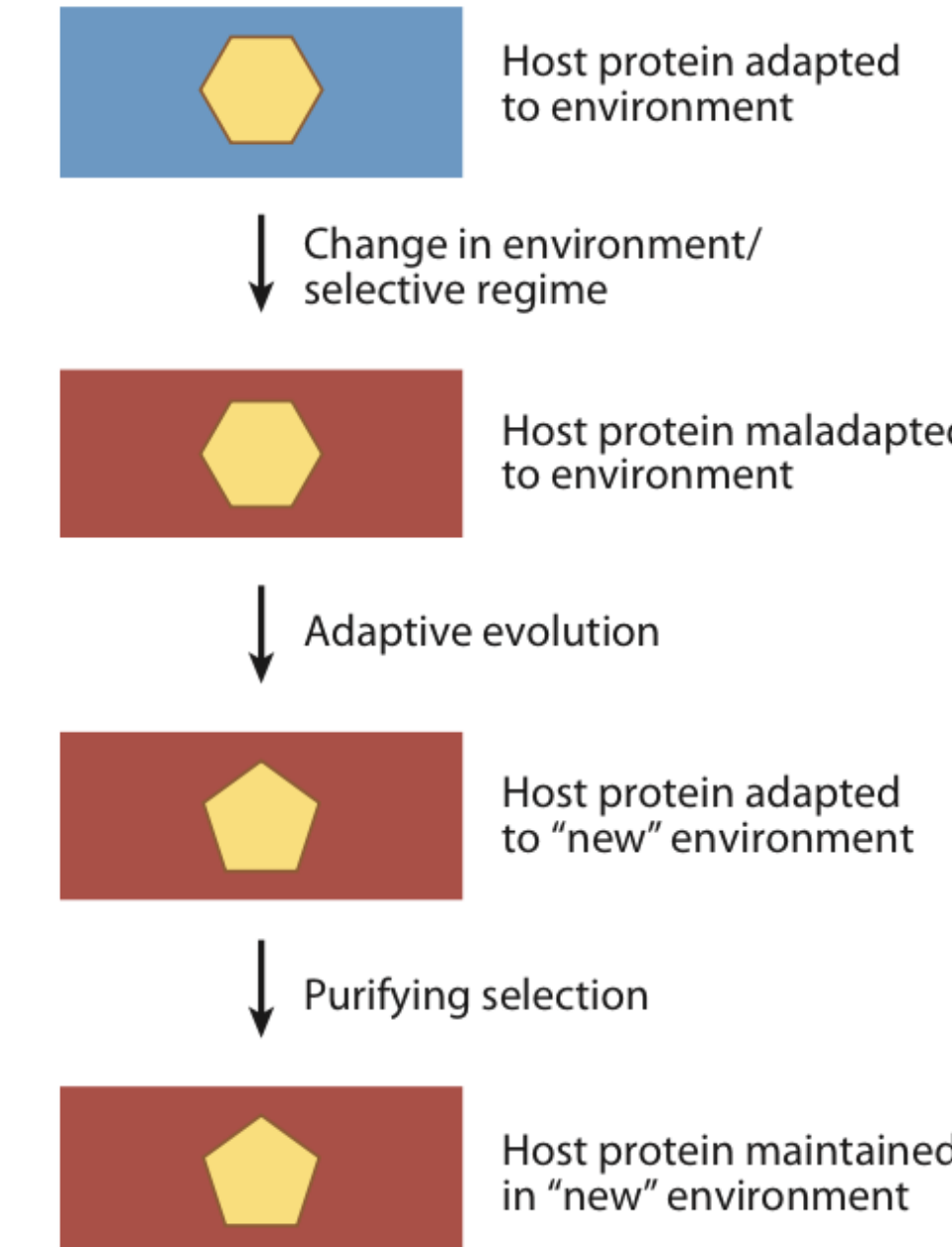
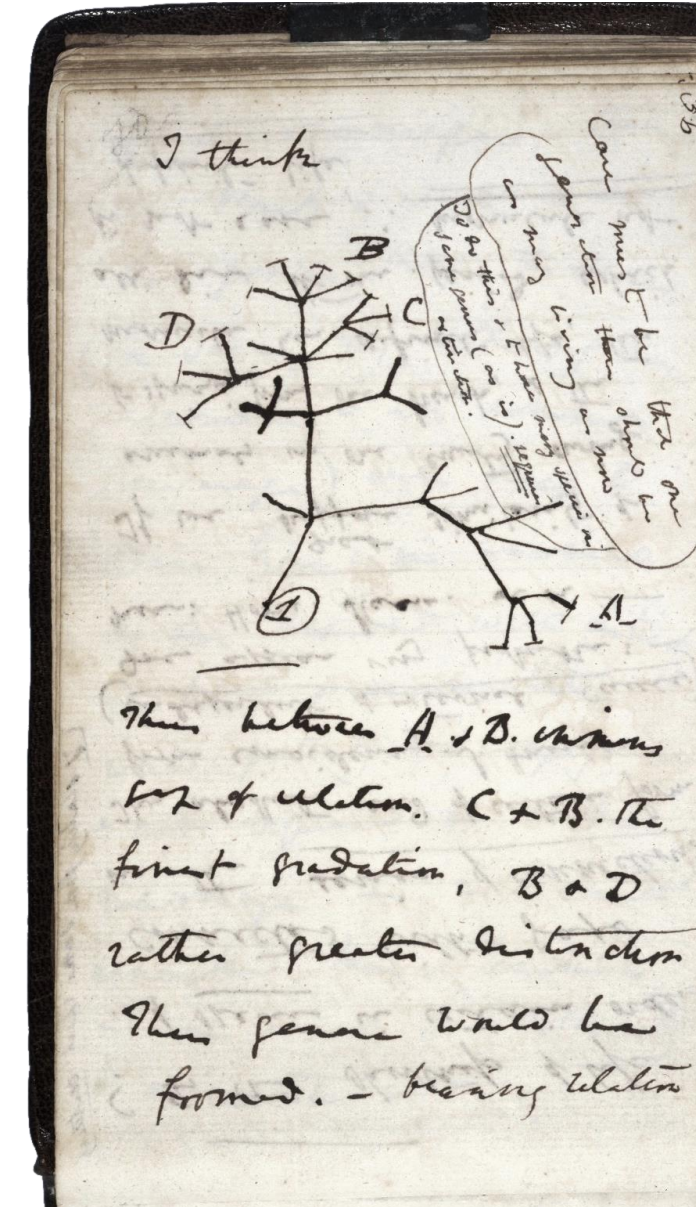
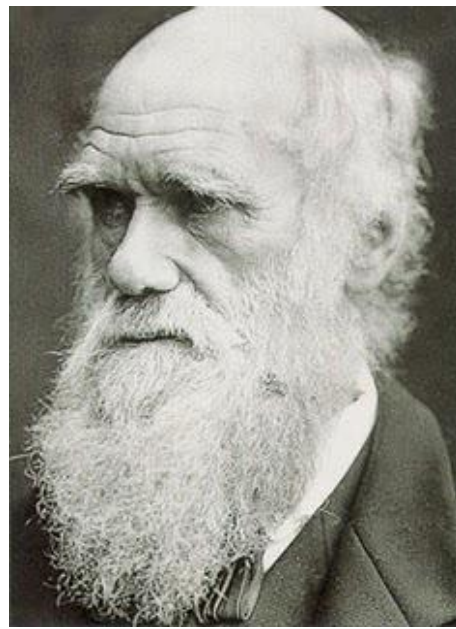
# Diversité virale

- Diversité génétique au sein d'une espèce de virus > notion de génotypes, clades, variants



- Au sein d'une espèce :
- Différences antigéniques sérotypes
  - Différences de séquences génétiques : génotypes

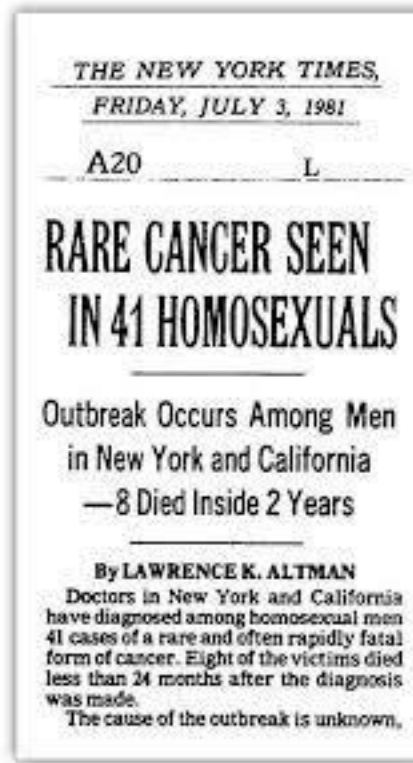
# Evolution



- Evolution > succession de hasards /sélection

# Evolution virale

- Nous sommes régulièrement confrontés aux conséquences de l'évolution virale
  - Nouveaux virus



HIV/AIDS

- Épidémies annuelles (grippe...)
- Résistance aux antiviraux (HIV)



EBOLA



COVID-19

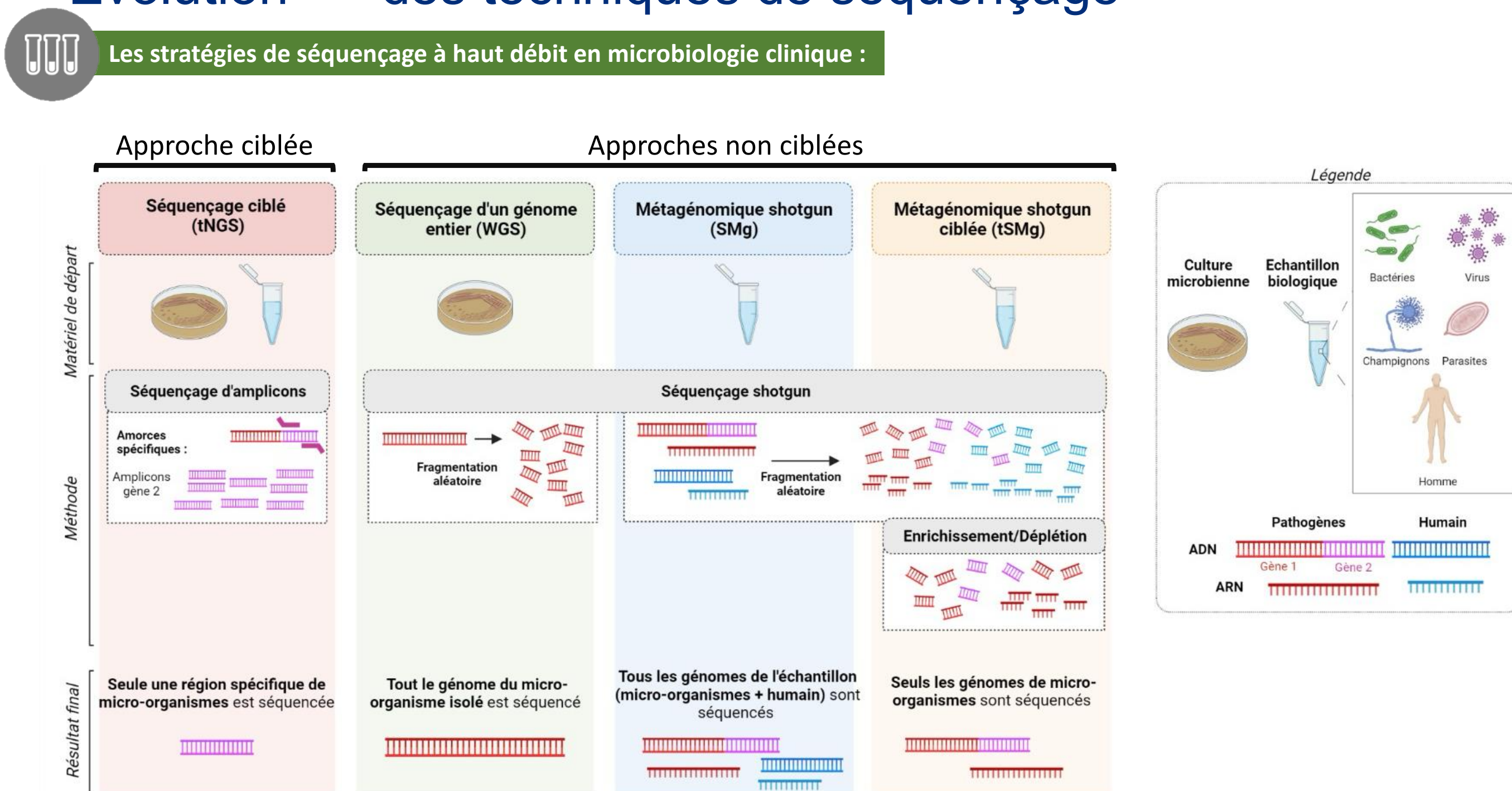
# Evolution virale

---

- Une population virale de grande taille
  - HIV:  $\frac{1}{2}$  vie d'une particule virale = 6h, turnover quotidien = 90%, nb total de particules virales >  $10^9$  dans plasma
- Des mutations fréquentes
  - Mutations ponctuelles
  - Recombinaisons et réassortiments
- Qui génèrent de la diversité > notion de quasi-espèce
- Un processus de sélection
  - Notion de goulot d'étranglement
  - Sélection / immunité, environnement

# Comment étudier la diversité et l'évolution génétique

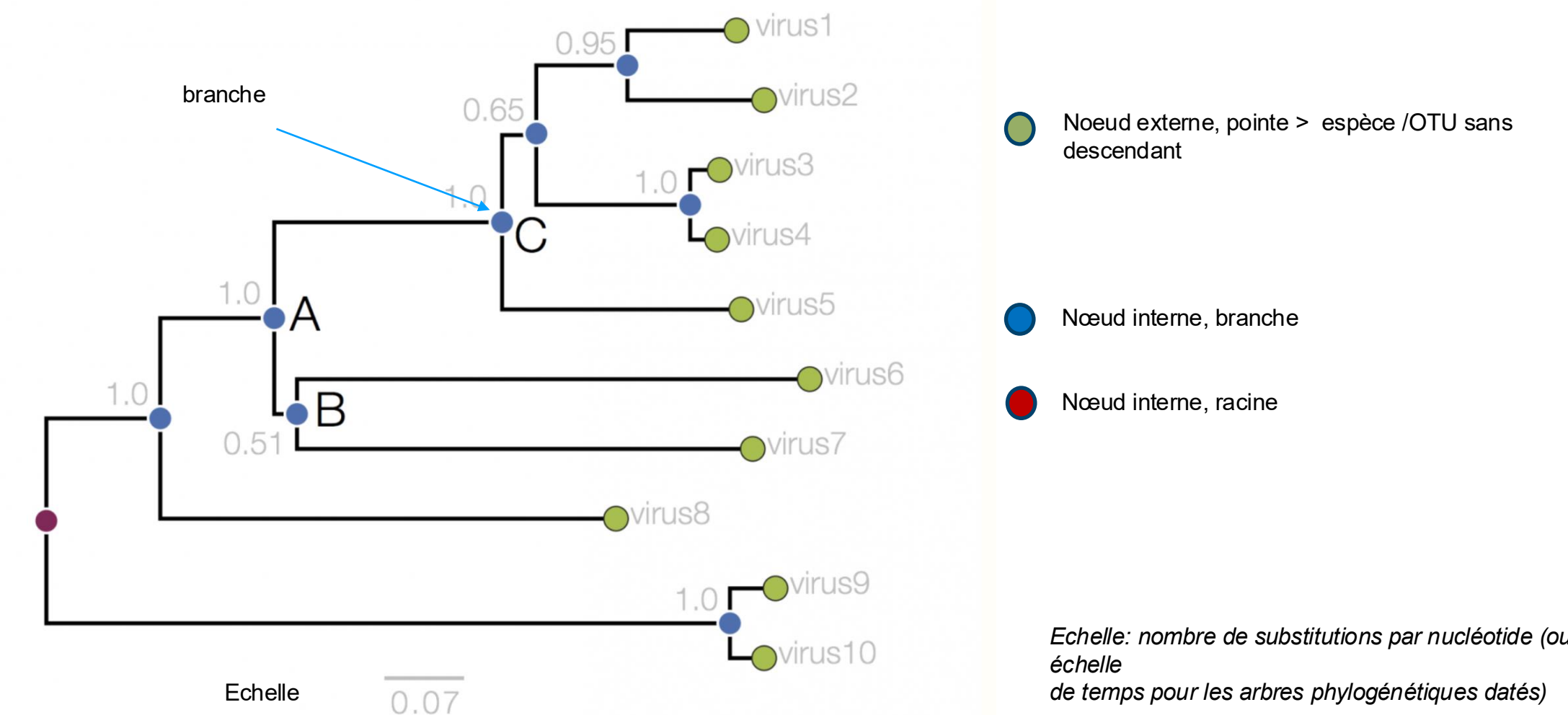
## • Evolution ++ des techniques de séquençage



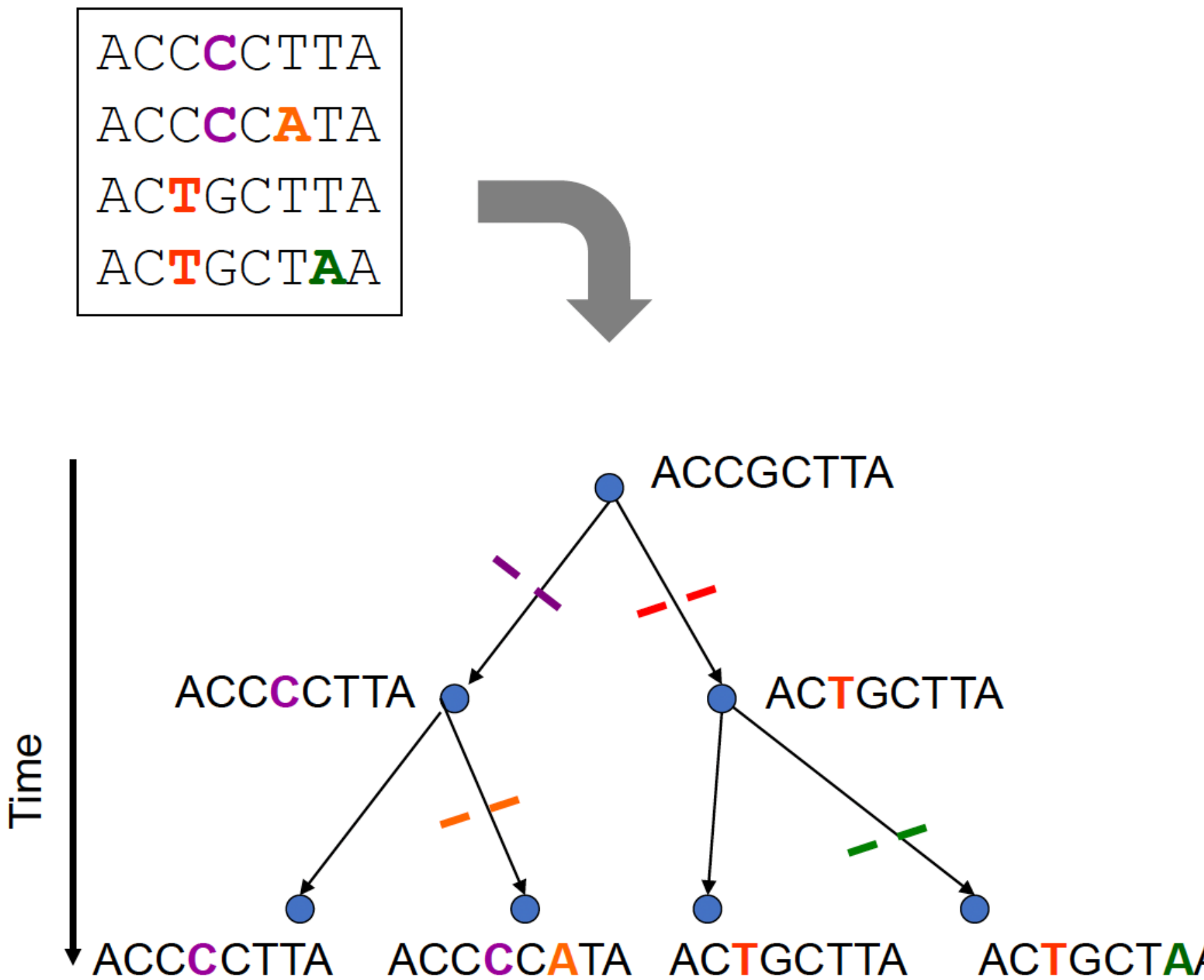
# Comment étudier la diversité et l'évolution génétique

- La phylogénie ou arbre phylogénique

= structure de classification hiérarchique qui représente des relations de parenté entre « objets » > en l'occurrence génomes viraux, sous la forme d'un arbre



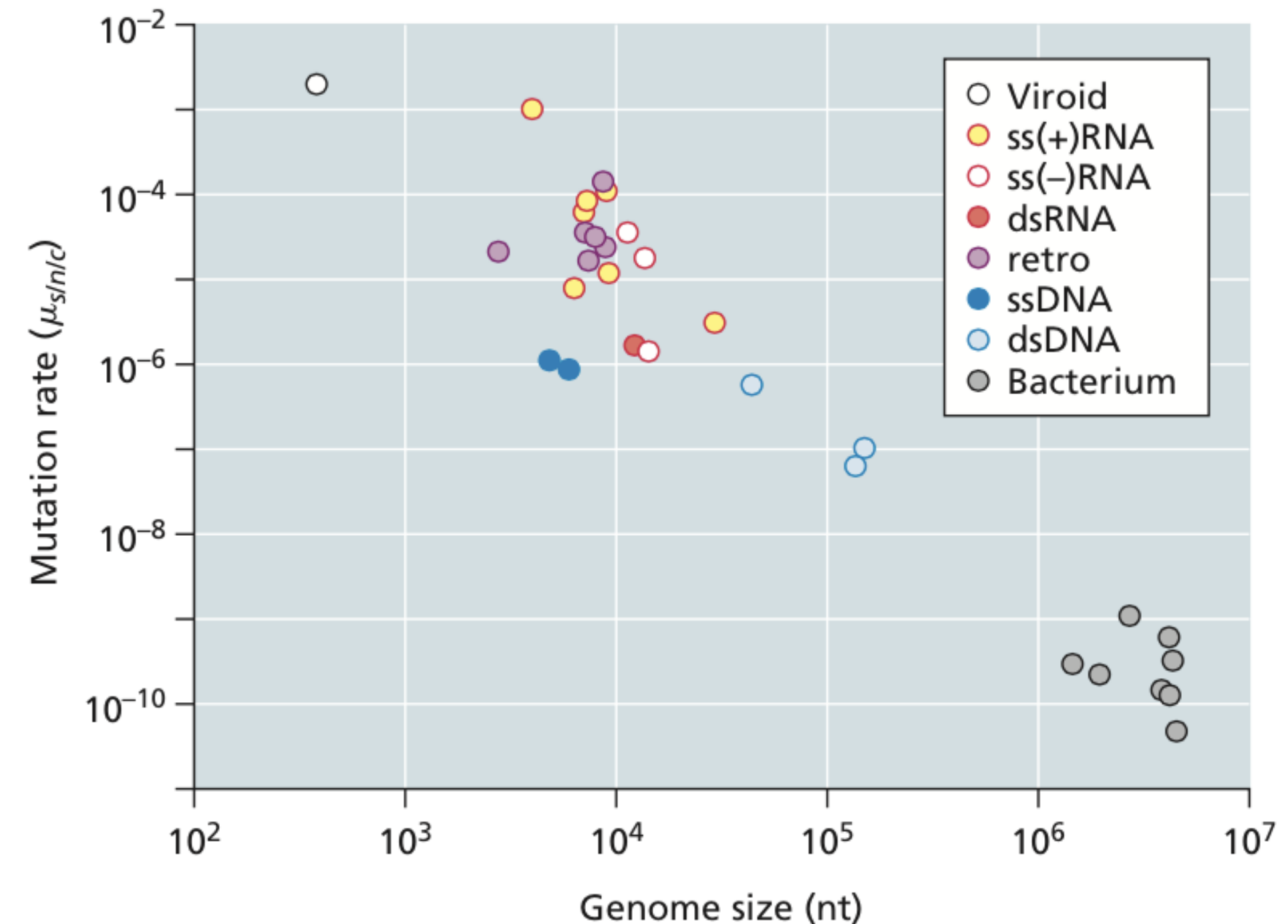
# Sequence-based phylogenetics



1. Sequence alignment
2. Evolutionary model
  - Parsimony
  - Distance
  - Maximum likelihood
  - Bayesian
- Groups interpreted as common ancestry (acquired changes)
- Branch lengths reflect number of changes

# Mécanismes de variabilité: mutations ponctuelles

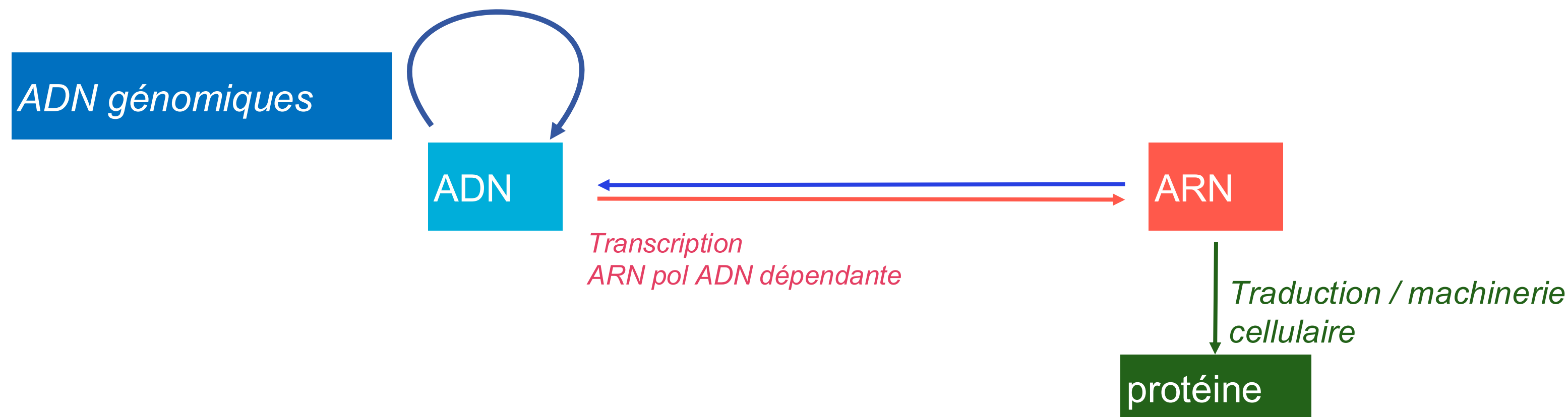
- Source de mutations : erreurs des polymérasées
- ++ erreurs d'incorporation des nucléotides par l'ARN polymérase virale > pas de correction
- +++) virus à ARN > virus ADN



# L'information génétique virale : virus ADN

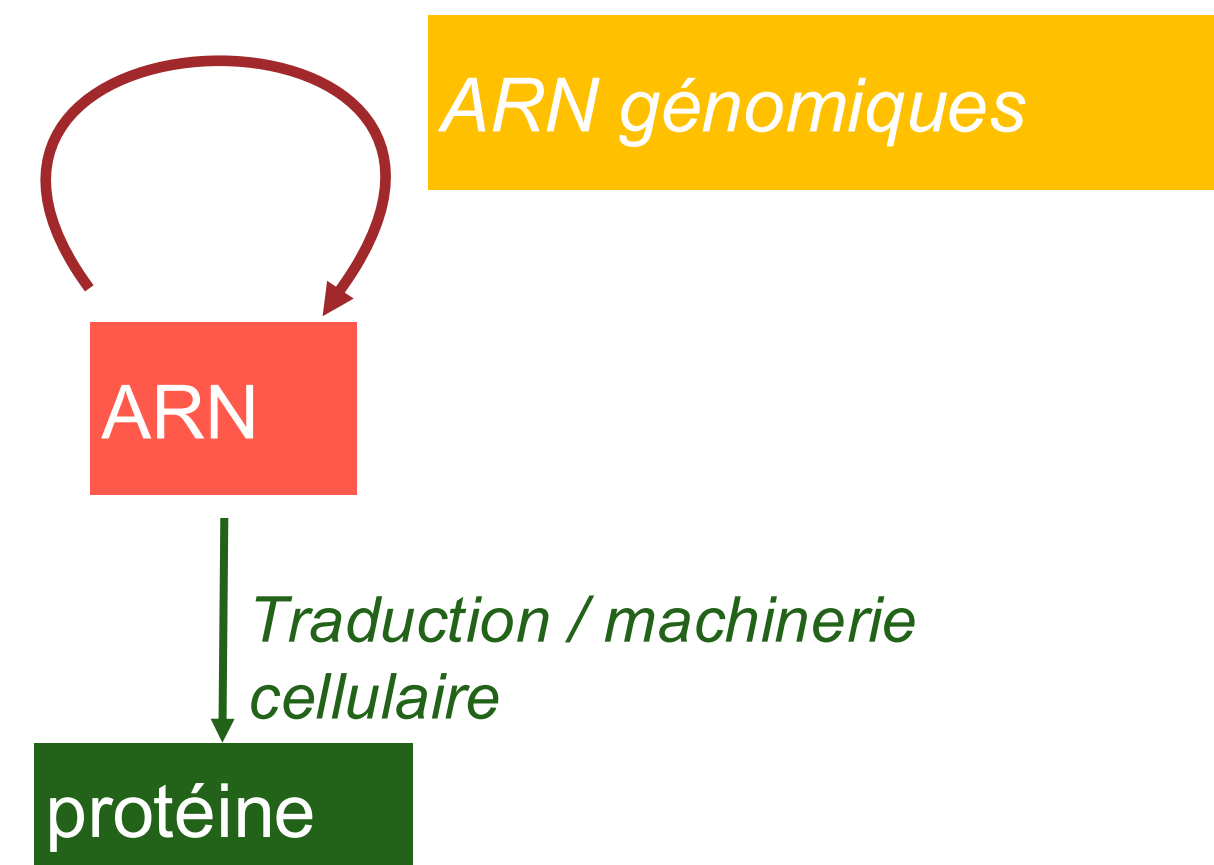
*réPLICATION (virus ADN)*

> ADN polymerase ADN dépendante  
(virale ou cellulaire)

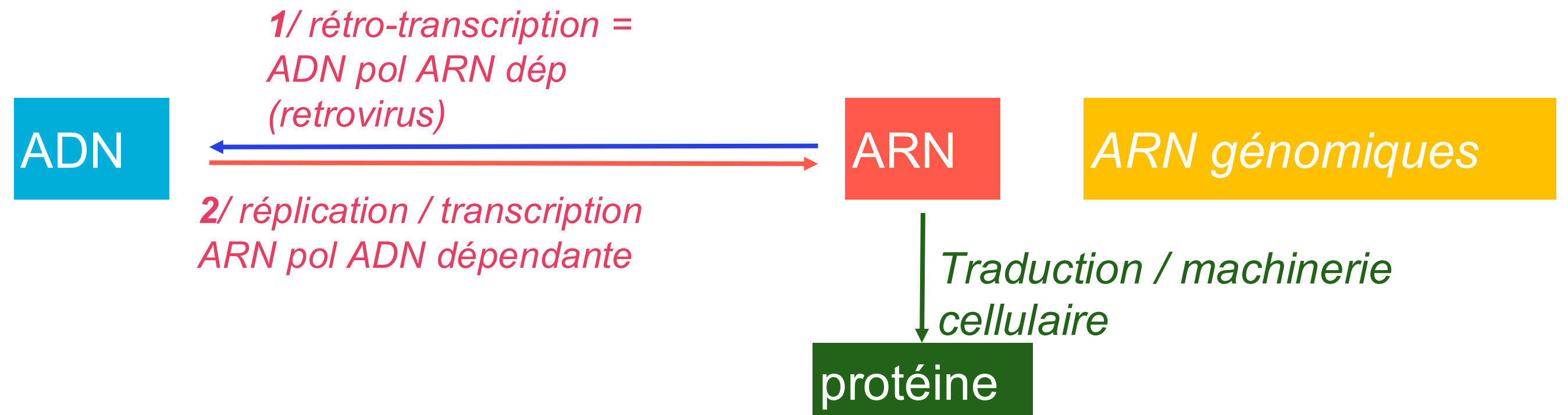


# L'information génétique virale : virus ARN

*RéPLICATION / TRANSCRIPTION (virus ARN)*  
> ARN polymérase ARN dépendante  
(virale)



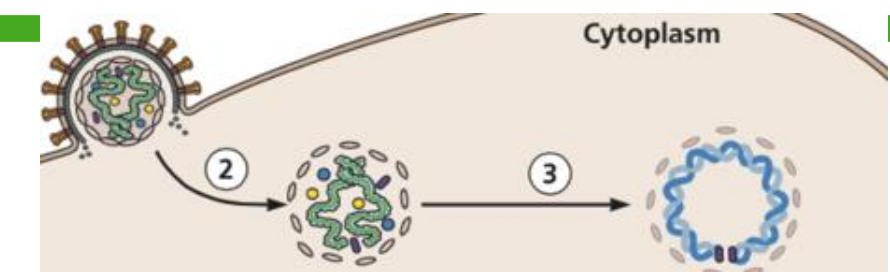
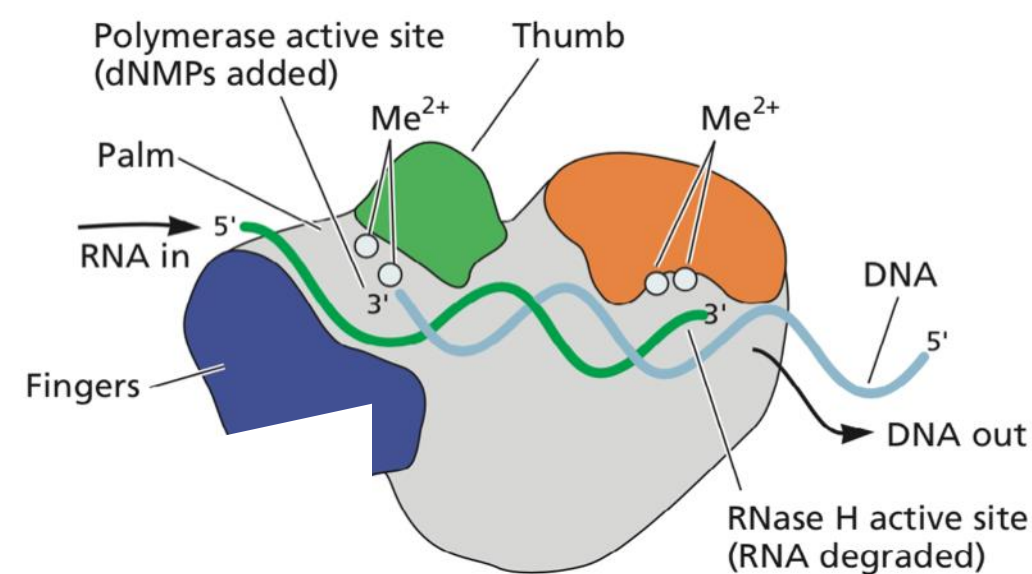
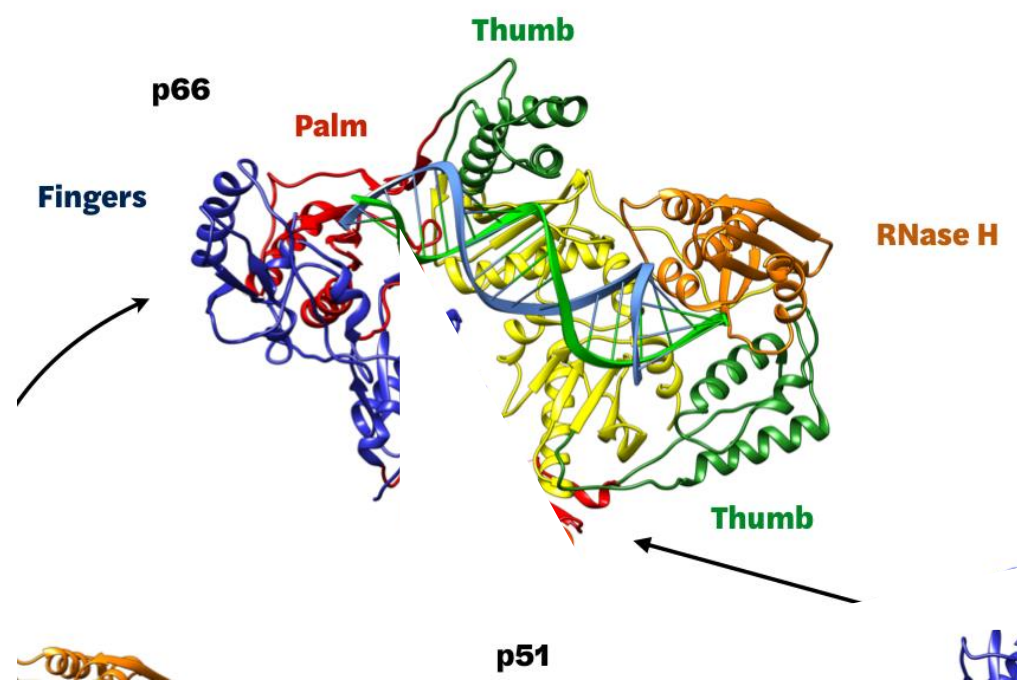
# L'information génétique virale: rétrovirus



# VIH

# transcription inverse

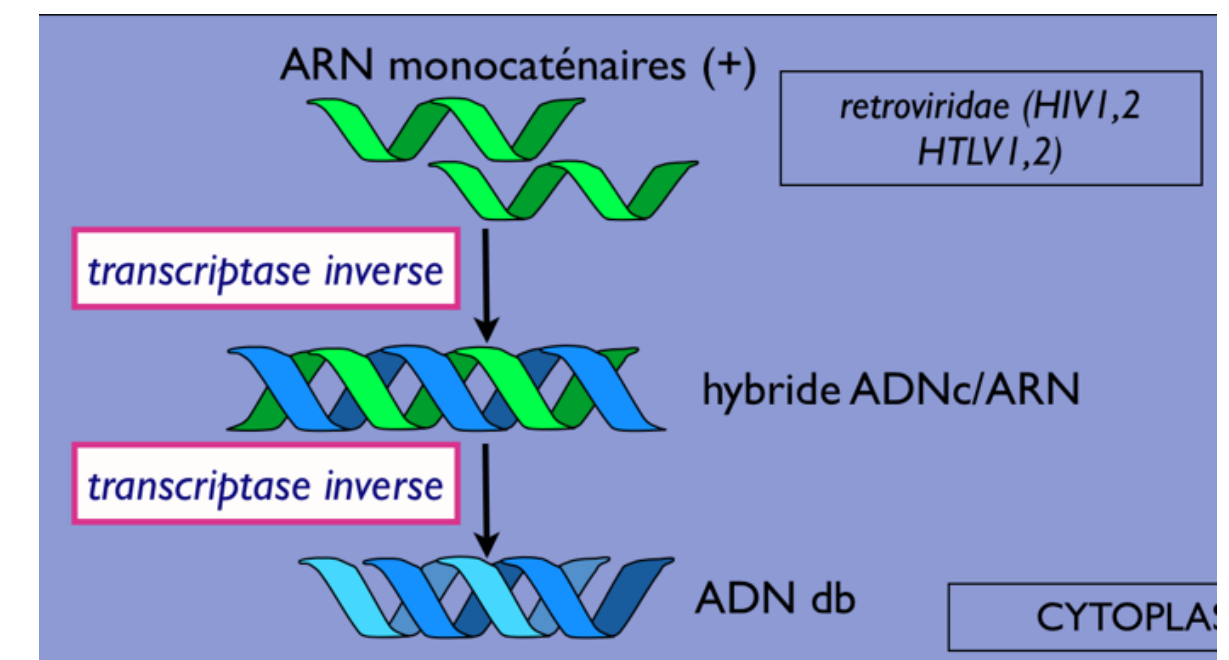
## Transcriptase inverse virale



Virology Lectures 2021 • Prof. Vincent Racaniello • Columbia University

- synthèse d'une molécule d'ADN complémentaire de l'ARN: **fonction ADN polymérase ARN dépendante**
- dégradation de la molécule d'ARN: **fonction RNase H**
- synthèse d'un 2e brin d'ADN complémentaire du 1er = ADN db: **fonction ADN polymérase ADN dépendante**

**Mais > absence d'activité correctrice d'erreurs à l'incorporation des nucléotides (activité proofreading) > mutations ponctuelles, 1-3 mutations / génome**  
**> Modifications conformations protéines cibles des traitements (cf cours HIV)**



# Le concept de quasi-espèce

A Q $\beta$  phage population is in a dynamic equilibrium with viral mutants arising at a high rate on the one hand, and being strongly selected against on the other. The genome of Q $\beta$  cannot be described as a defined unique structure, but rather as a weighted average of a large number of different individual sequences."

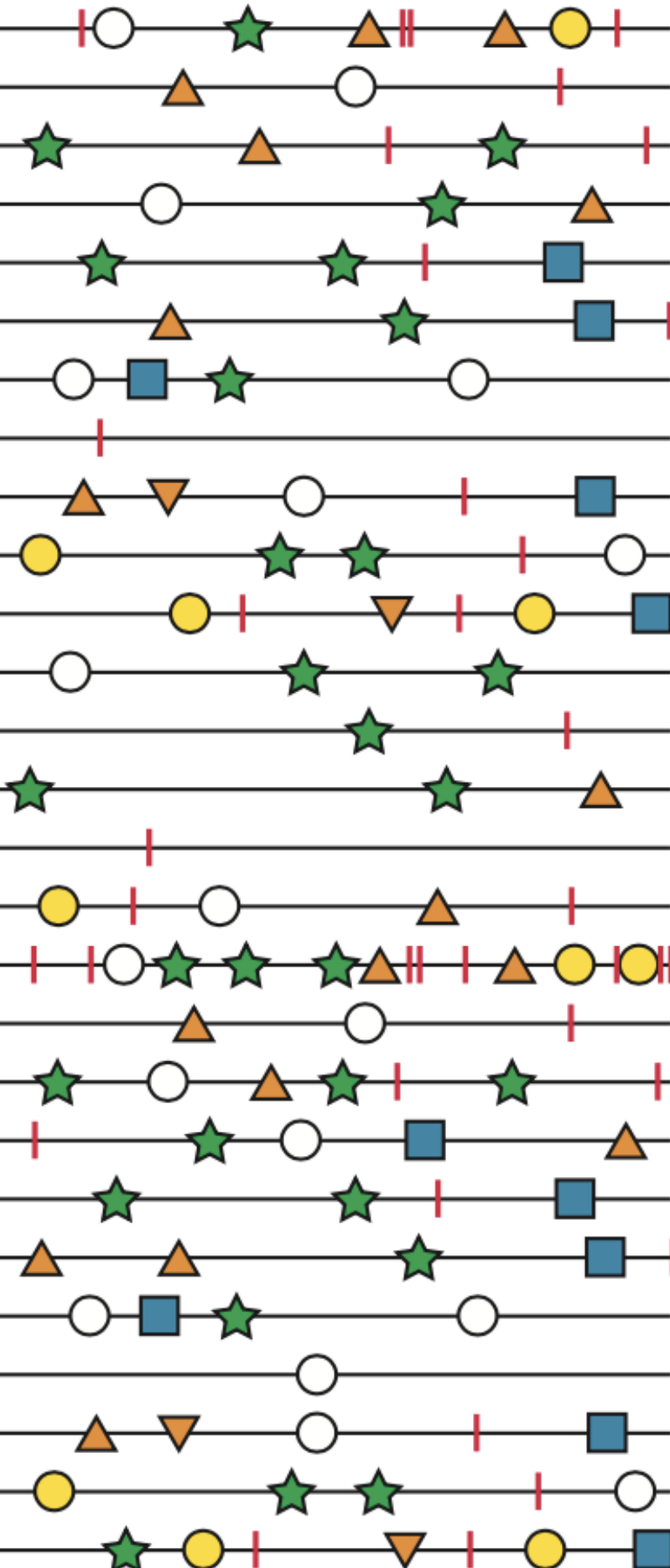
E. Domingo, D. Sabo, T. Taniguchi, C. Weissmann. 1978. Nucleotide sequence heterogeneity of an RNA phage population. Cell 13:735-744.

- Chez un individu infecté par une espèce virale, la population de virus n'est pas homogène, elle est constituée d'un ensemble de « réplicons », dont la distribution est dynamique dans le temps

## Quasi-espèce = nuage de mutants

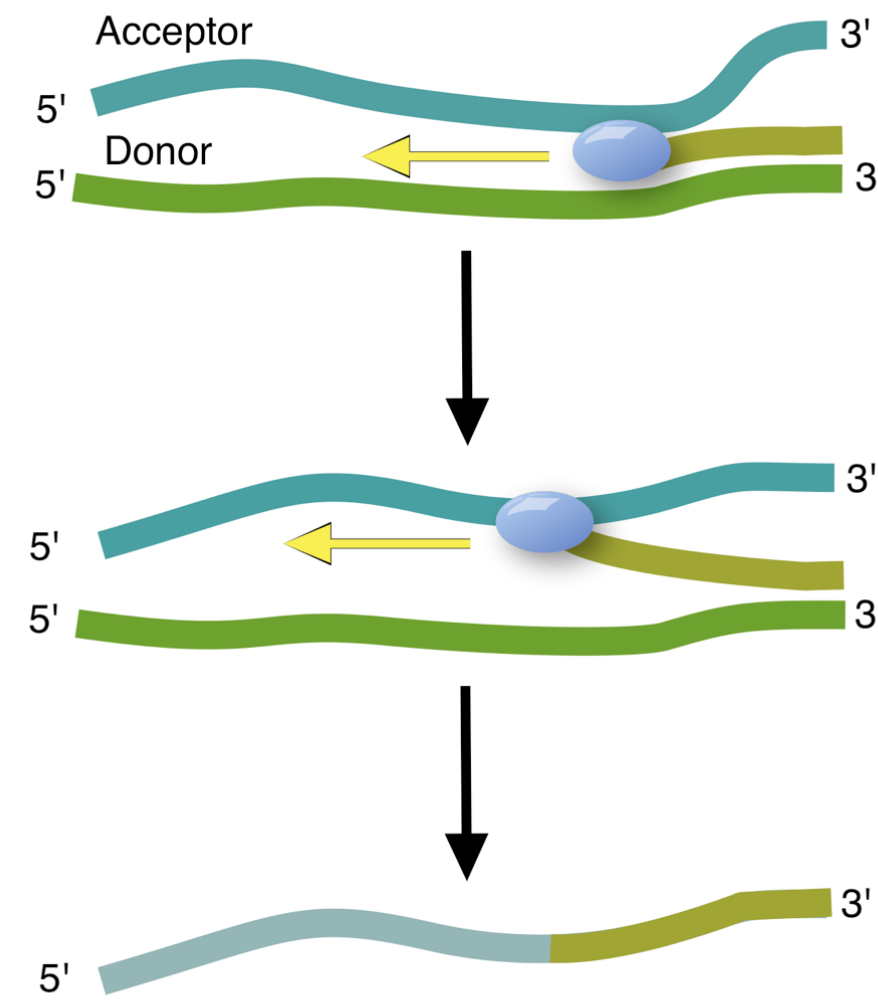
L'ensemble des mutants évoluent comme s'ils formaient « quasiment une seule et même espèce » (au sens chimique ou moléculaire et non biologique)

≠ séquence consensus obtenue par séquençage

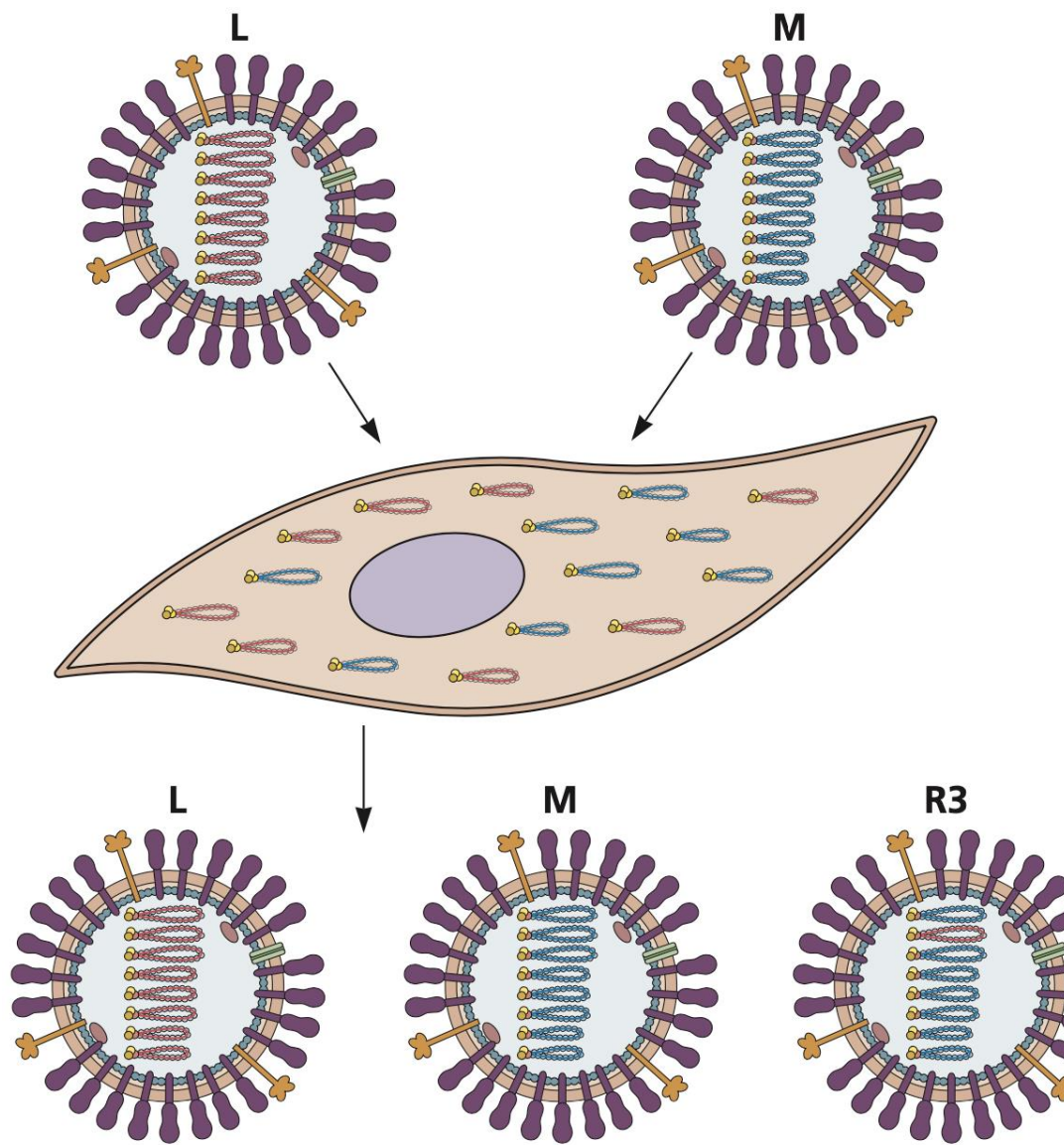


# Autres mécanismes d'évolution génétique

## Recombinaison



## Réassortiment



# Sélection

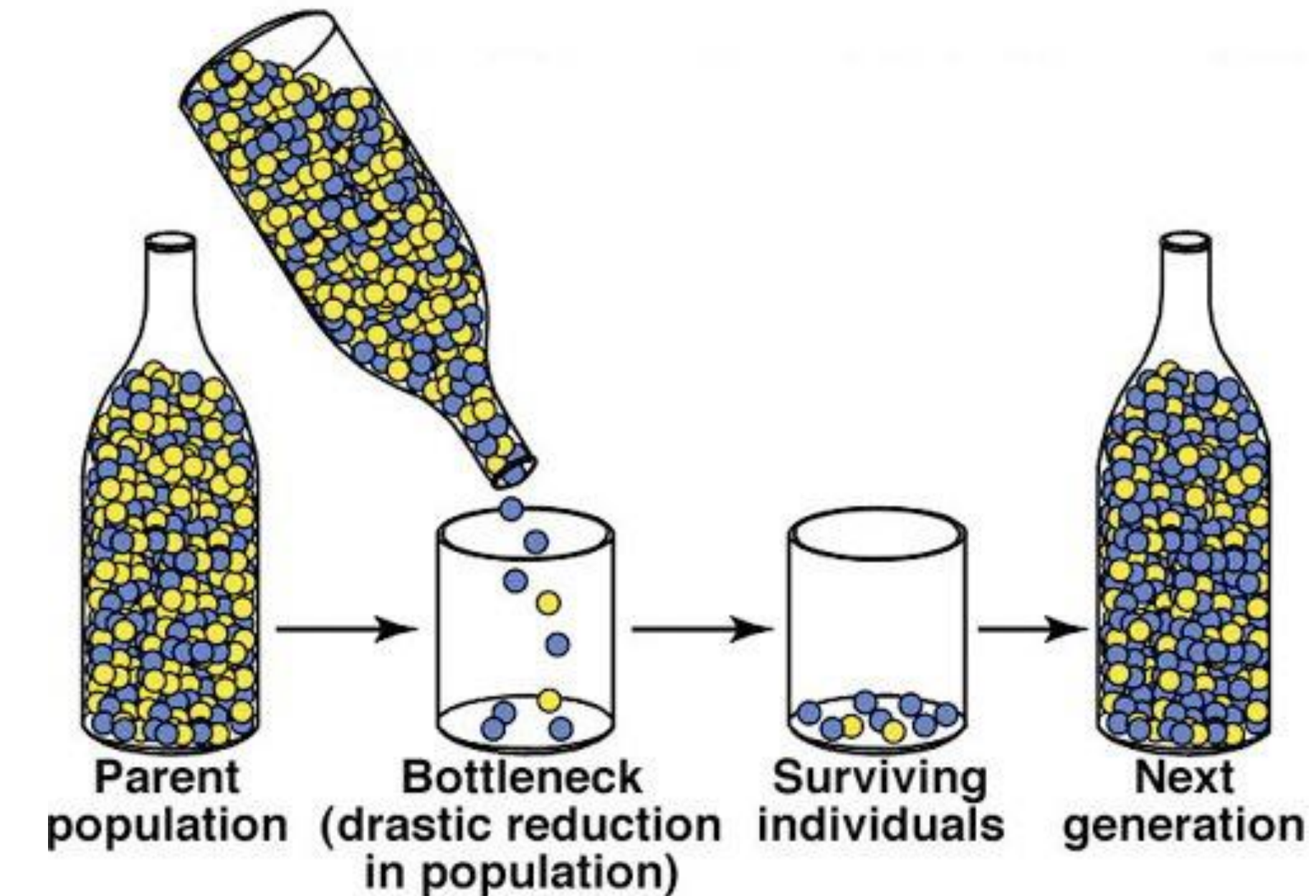
---

- Au sein d'une quasi-espèce, une/plusieurs mutation(s) peuvent être sélectionnées et persister dans le temps pour donner naissance à des quasi-espèces qui partagent cette/ces mutations leur ayant conféré un avantage
- Sélection ne signifie pas forcément plus de pathogénicité ou plus de transmissibilité, mais cela **favorise la survie du virus**
- **Seuil d'erreur : équilibre entre sélection/survie et taux de mutation**
  - Si taux de mutation dépasse le seuil d'erreur > perte d'infectivité
  - Si taux de mutation très inférieur > pas assez de mutation pour survivre à la sélection

# Notion de goulot d'étranglement

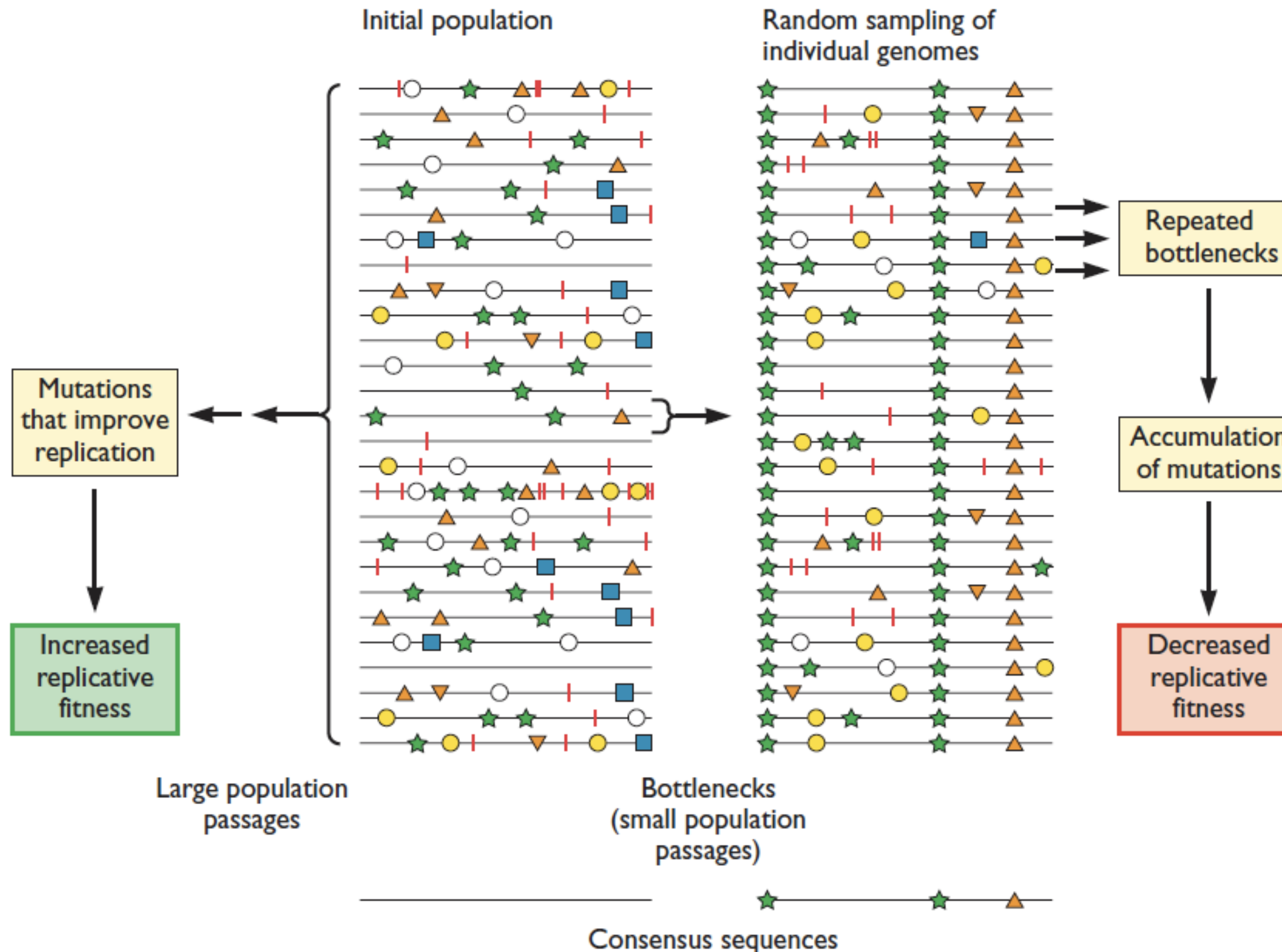
(« genetic bottlenecks »)

- Si un seul replicon survit au goulot d'étranglement > moins de diversité, fitness et survie diminués



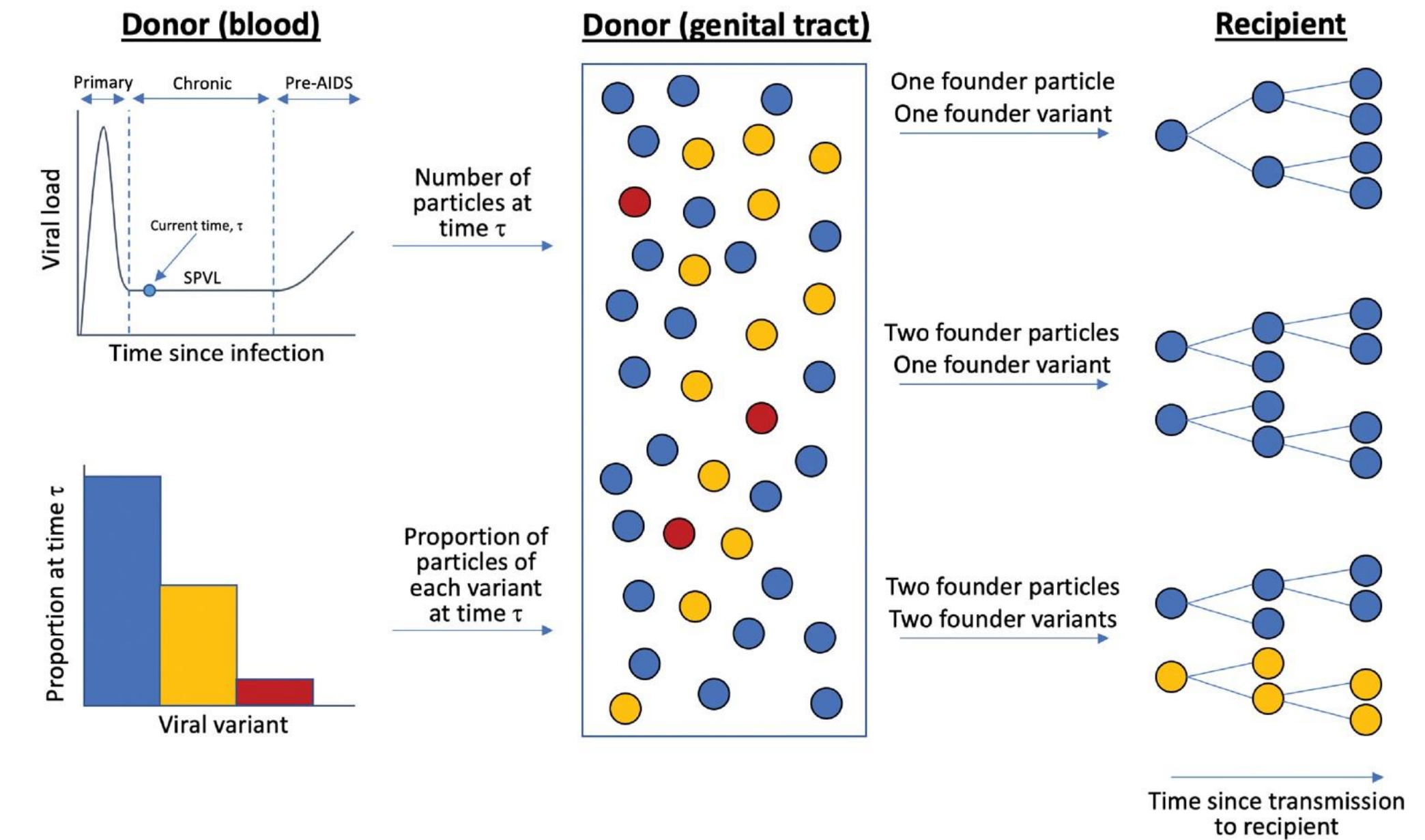
# Notion de goulot d'étranglement

## (« genetic bottlenecks »)



# Transmission du HIV et goulot d'étranglement

- Transmission HIV > évènement rare, constraint, faible diversité de la population virale initiale
- Notion de virus « founders »



# Sélection

---

- La sélection favorise le variant adapté à un environnement donné
- Facteurs de sélection
  - Contraintes structurales de survie : sites actifs des enzymes
  - Facteurs liés à l'hôte :
    - Le système immunitaire
    - L'entrée dans la cellule cible
  - Adaptation sur protéines de surface
    - Sites antigéniques
    - Sites de reconnaissance des récepteurs cellulaires

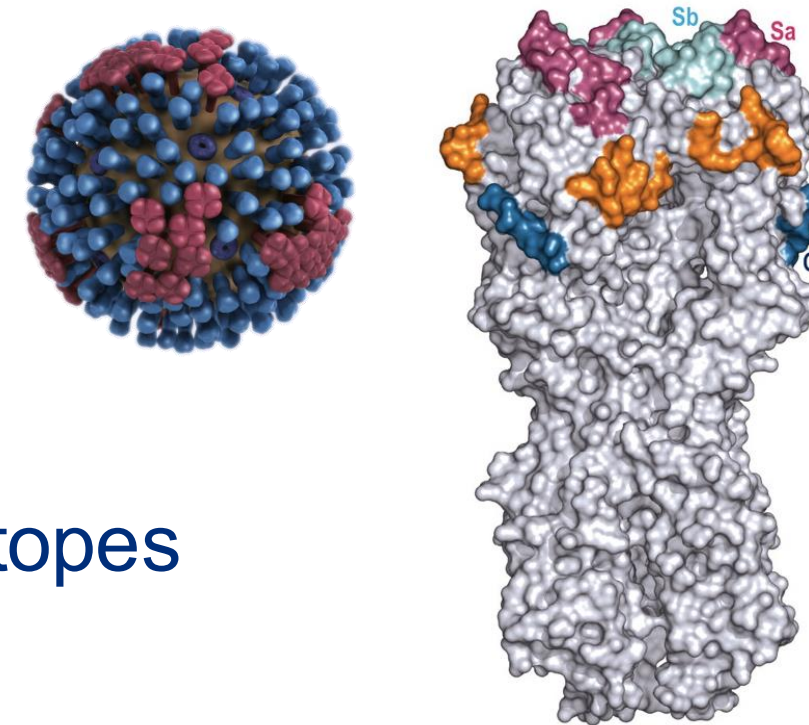
# Sélection

---

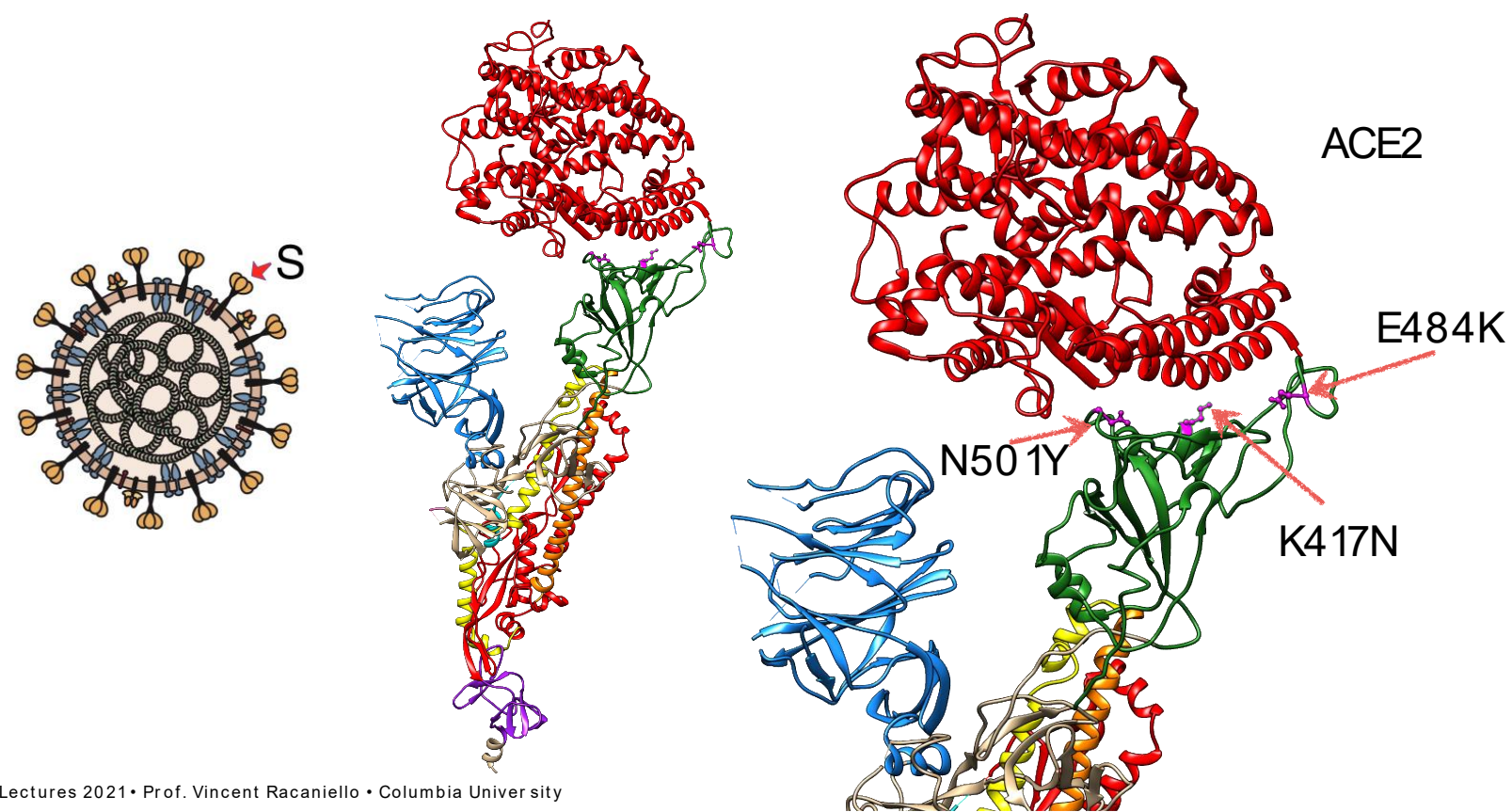
- Sélection de mutants résistants à l'élimination par les Ac ou les cellules T cytotoxiques > processus naturel au cours de la réPLICATION virale chez un individu
  - **Drift = dérive** > diversité issue des erreurs de réPLICATION, sélectionnées par la pression immunitaire
  - **Shift = cassure** > diversité issue des mécanismes de recombinaison ou réassortiment

# Dérive antigénique

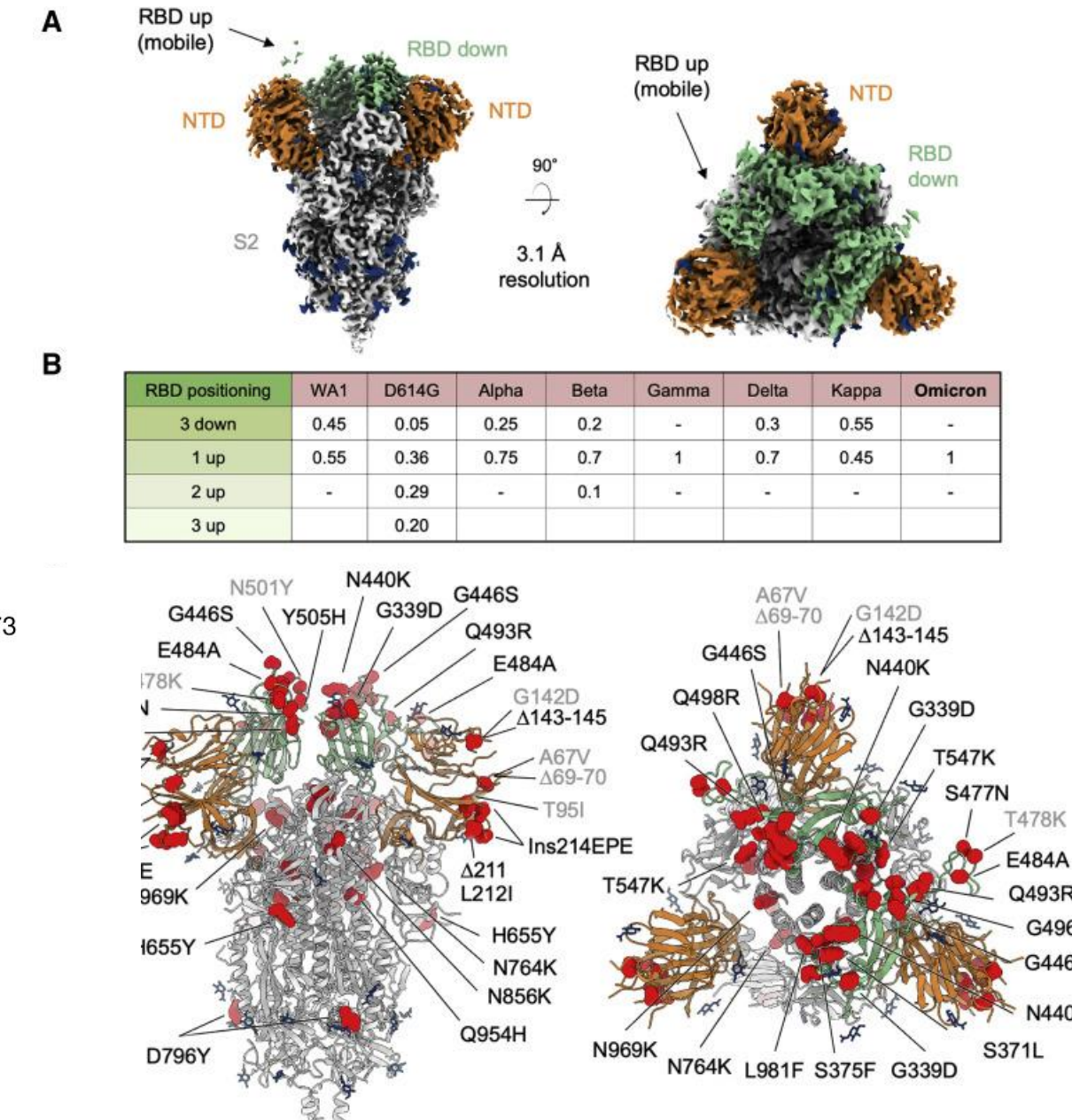
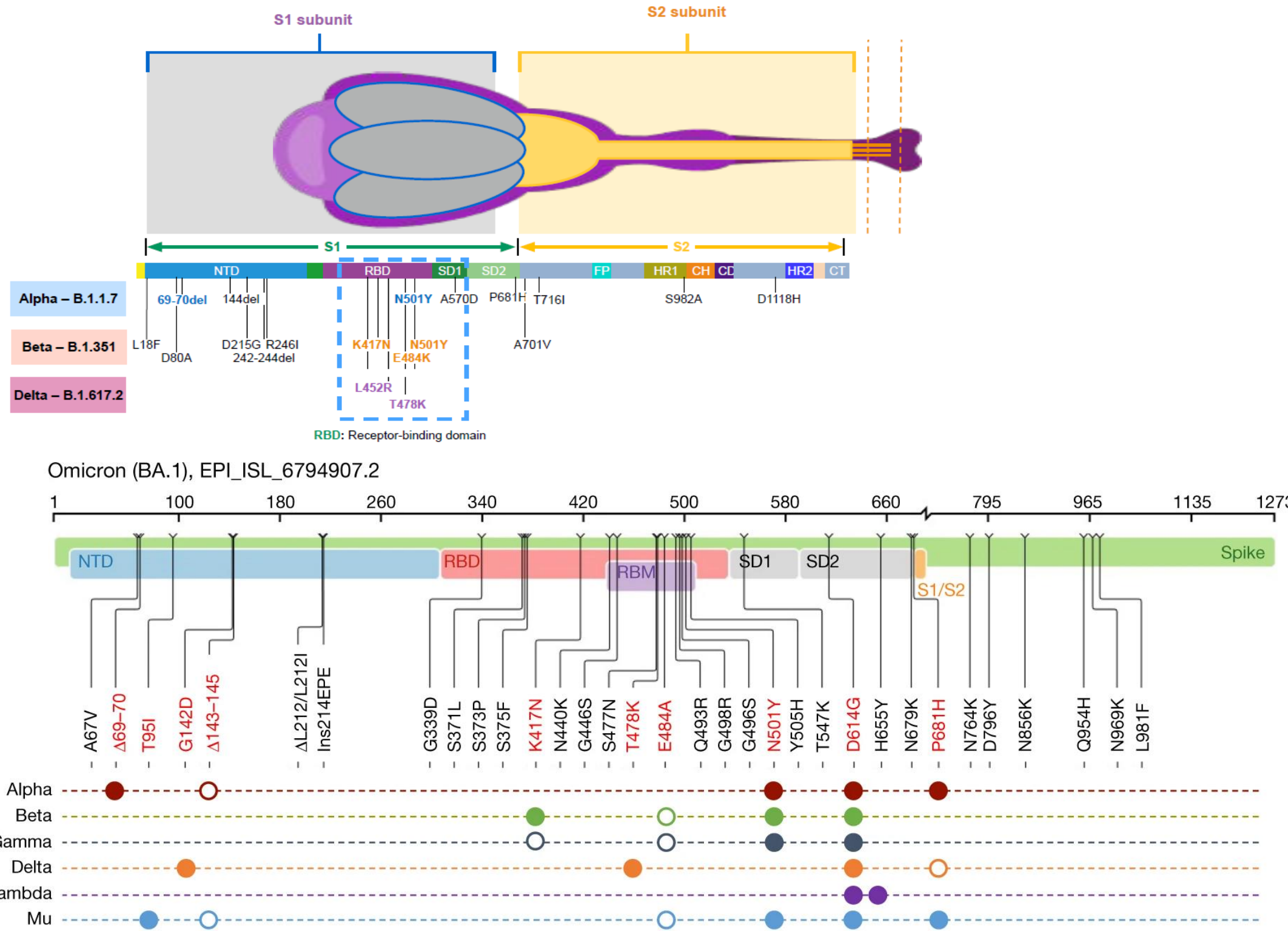
- Virus Influenza > sites de mutations ++ sur épitopes immunogènes de l'HA



- SARS CoV-2 > sites de mutations ++ sur épitopes immunogènes de la protéine Spike

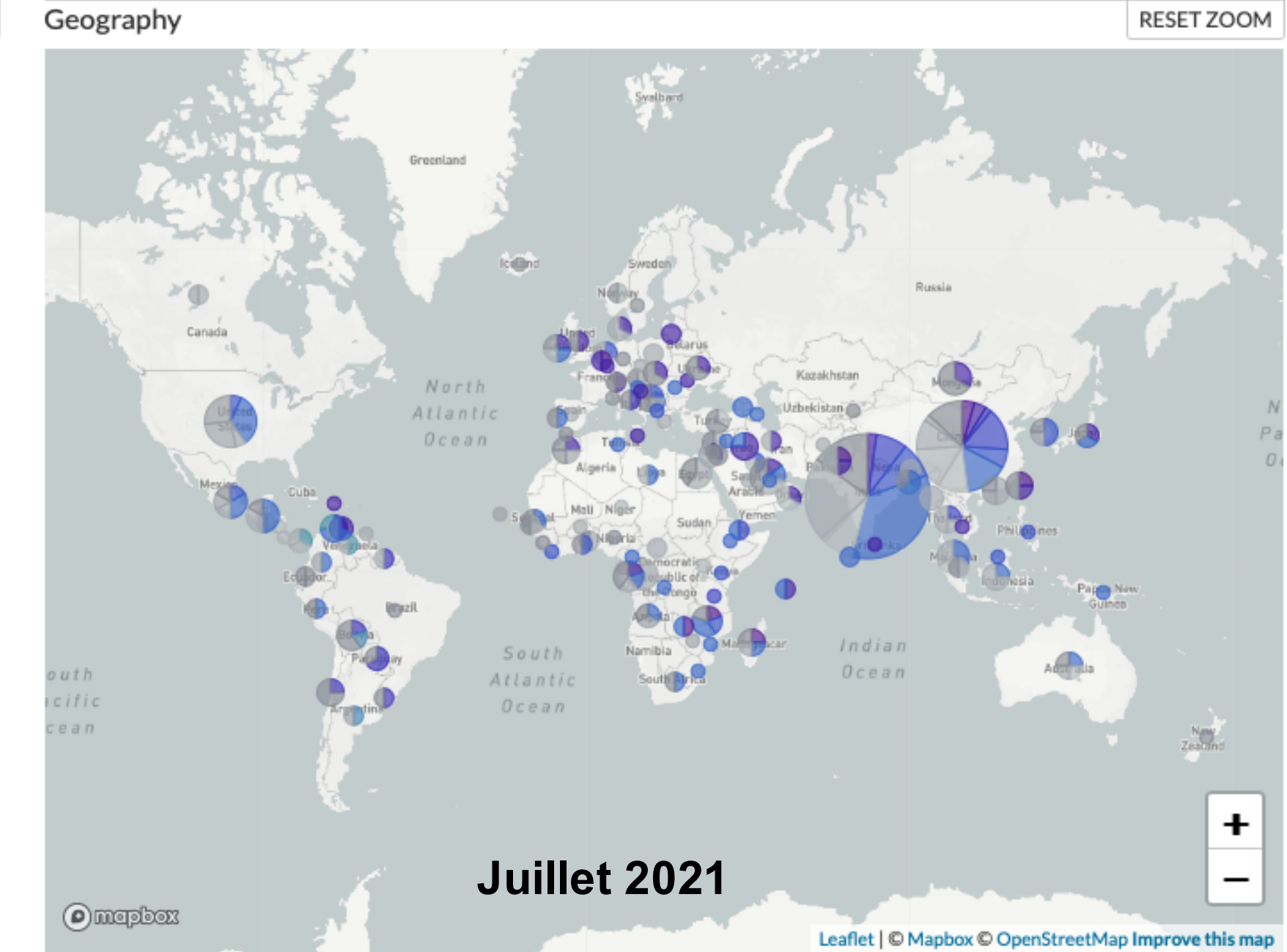
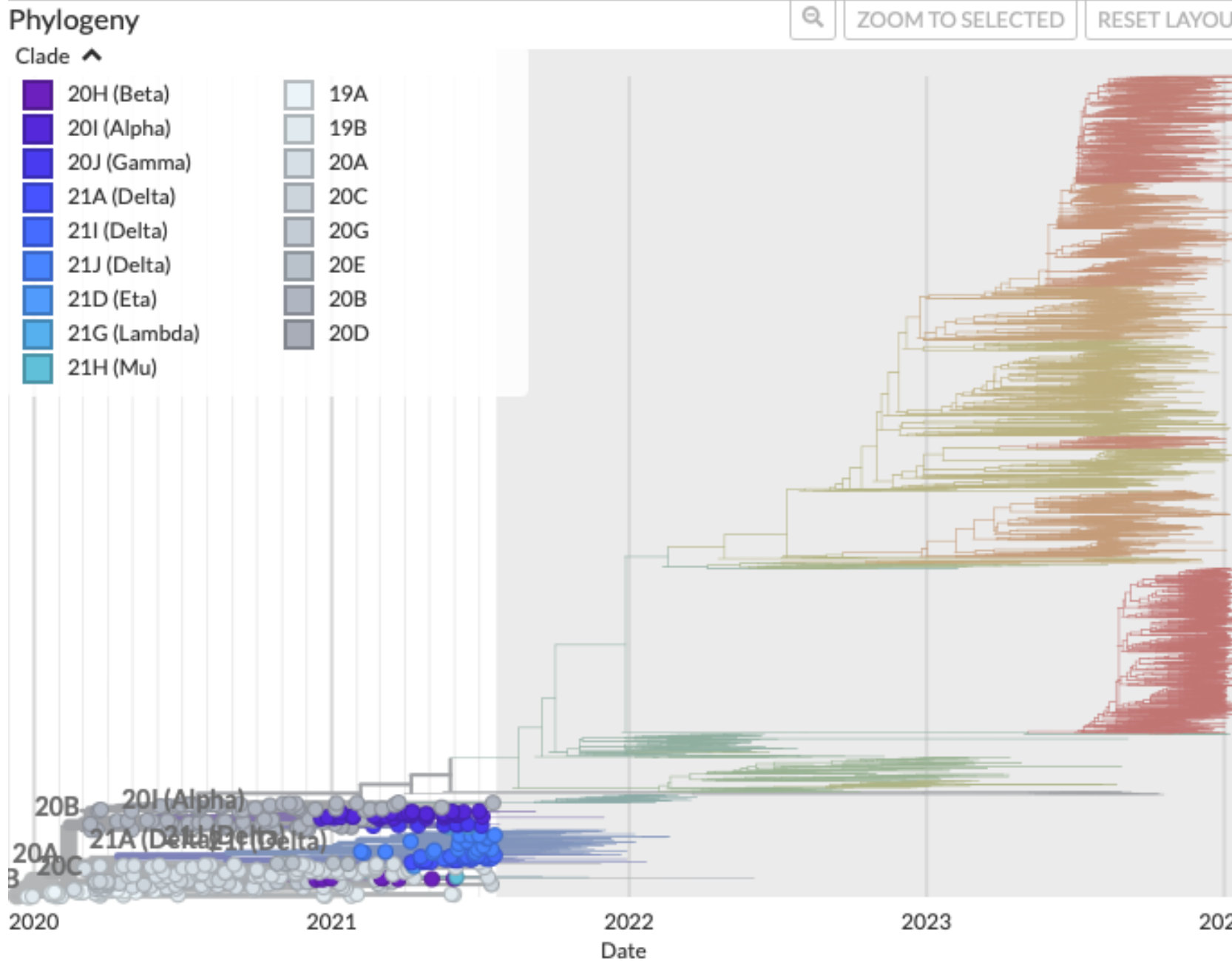


# Exemple du SARS CoV-2



# Diversité du SARS CoV-2

Showing 334 of 3915 genomes sampled between Dec 2019 and Jul 2021. Filtered to [Dec 2019 to Jul 2021](#)

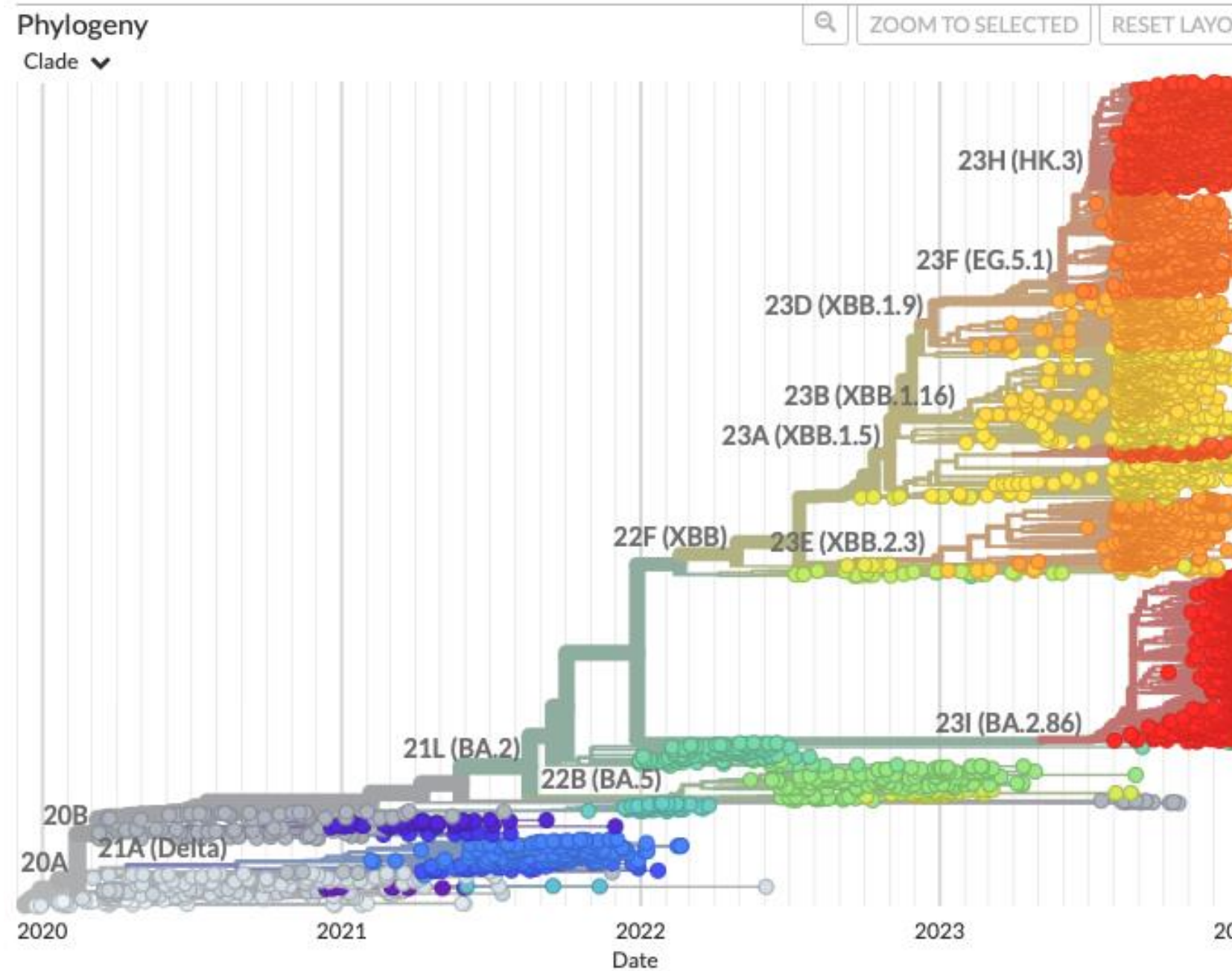


# Diversité du SARS CoV-2

Genomic epidemiology of SARS-CoV-2 with subsampling focused globally over the past 6 months

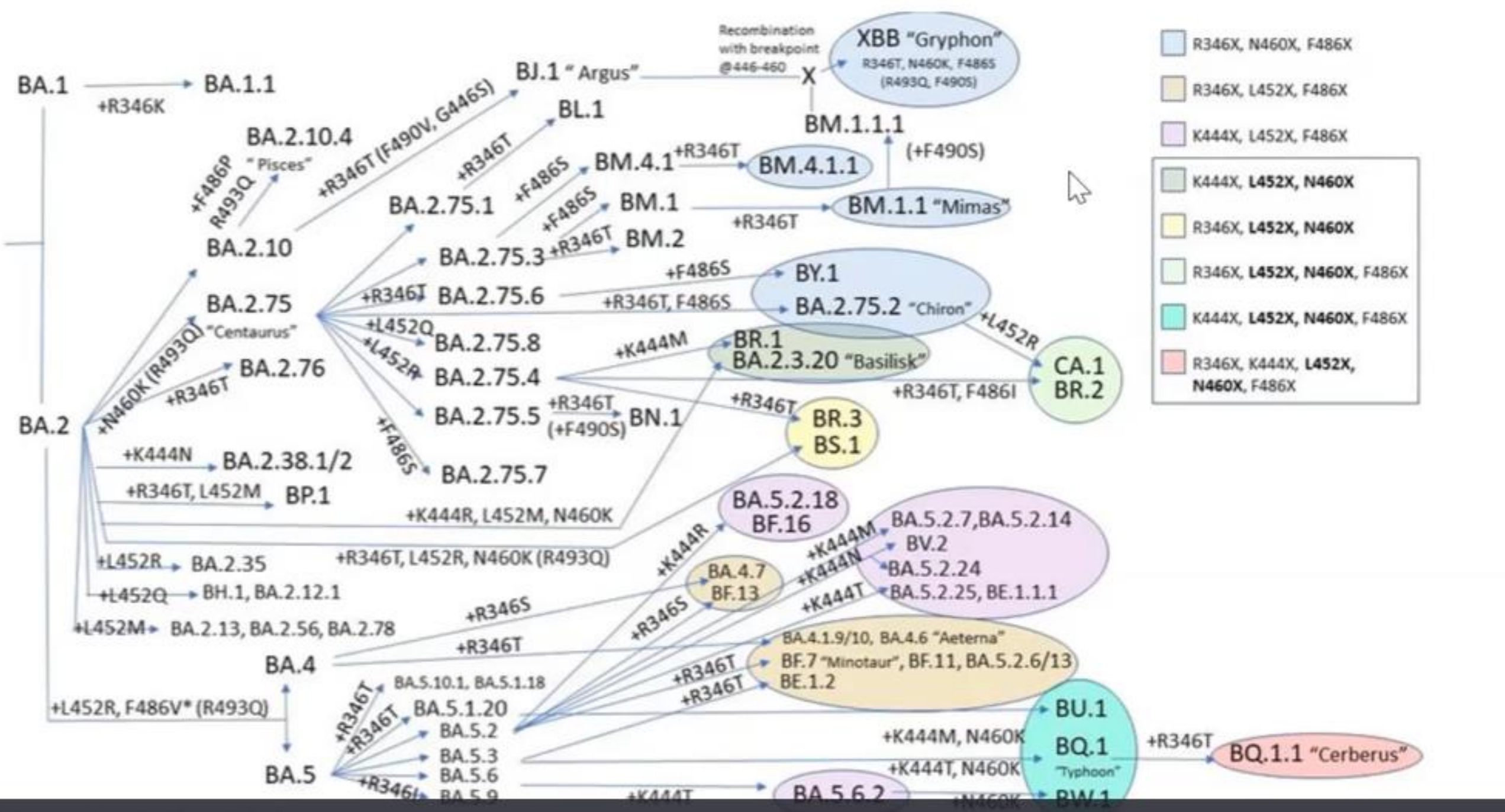
Built with [nextstrain/ncov](#). Maintained by [the Nextstrain team](#). Data updated 2024-02-06. Enabled by data from [GISAID](#).

Showing 3915 of 3915 genomes sampled between Dec 2019 and Jan 2024.



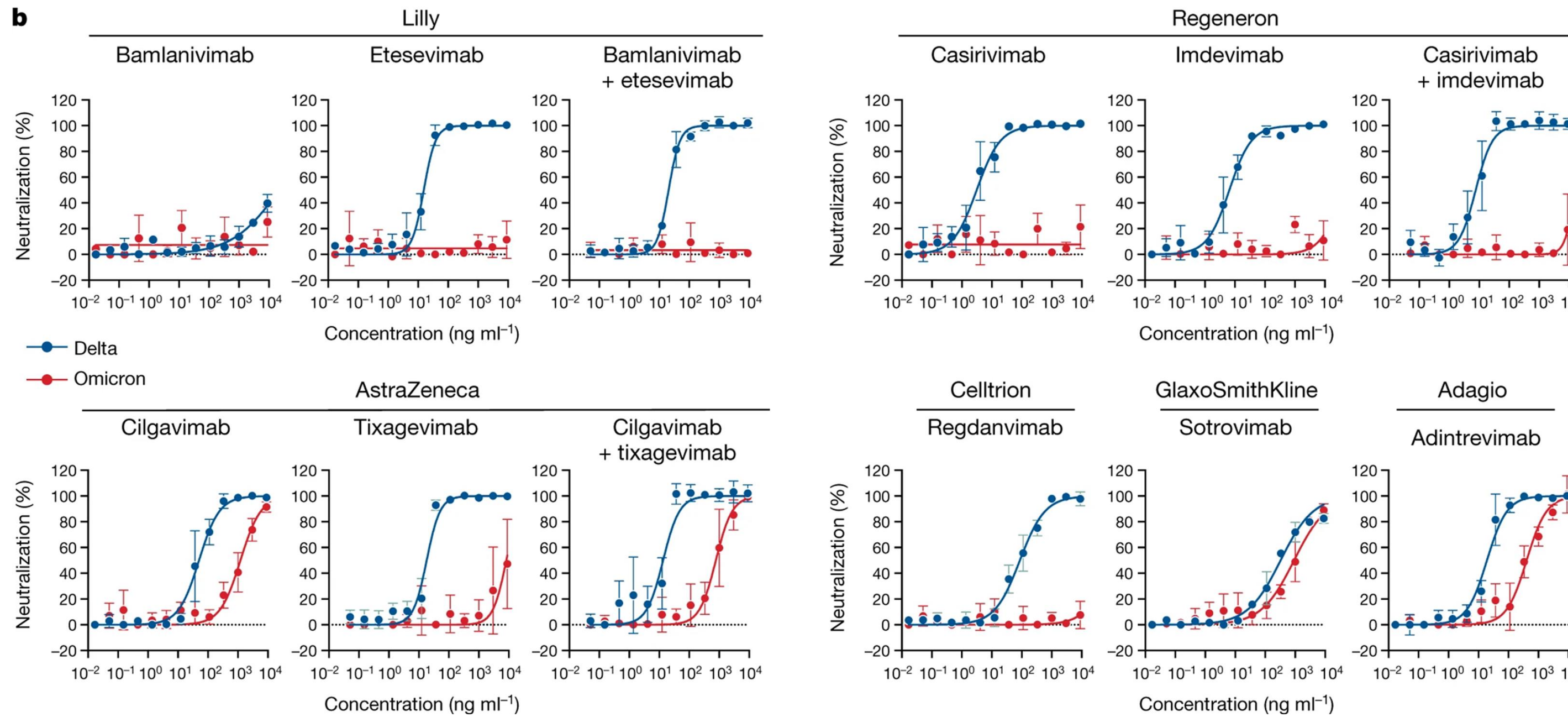
# Diversité du SARS coV-2

- Mutations ponctuelles et mécanismes de recombinaison



# Diversité du SARS CoV-2: conséquences

- Echappement à l'action neutralisante des AC



## Article

# Resurgence of Ebola virus in 2021 in Guinea suggests a new paradigm for outbreaks

<https://doi.org/10.1038/s41586-021-03901-9>

Received: 6 April 2021

Accepted: 11 August 2021

Published online: 15 September 2021

 Check for updates

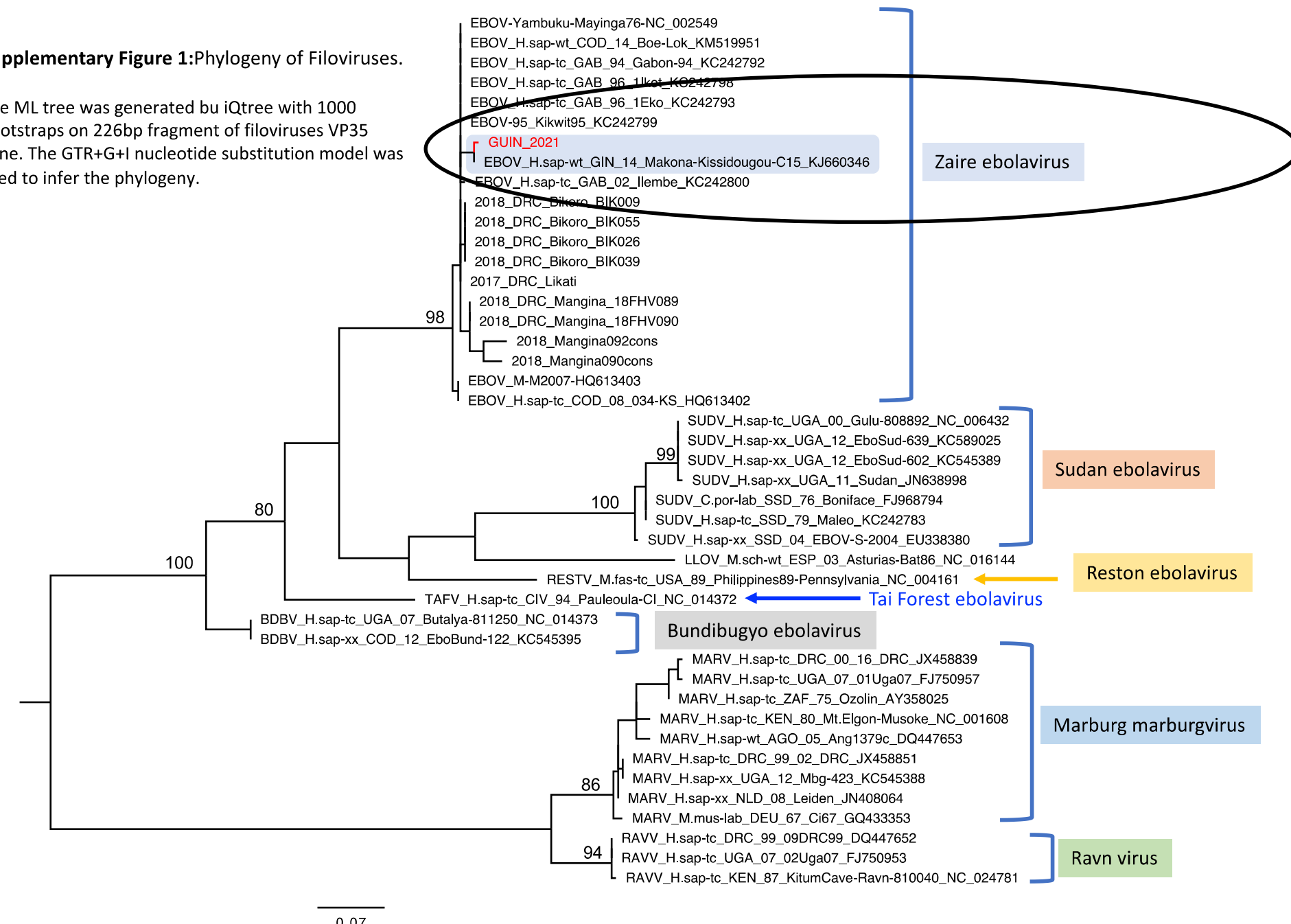
Alpha Kabinet Keita<sup>1,2,26</sup>✉, Fara R. Koundouno<sup>3,4,26</sup>, Martin Faye<sup>5,26</sup>, Ariane Dux<sup>6,26</sup>, Julia Hinzmann<sup>4,7,8,26</sup>, Haby Diallo<sup>1</sup>, Ahidjo Ayouba<sup>2</sup>, Frederic Le Marcis<sup>1,2,9</sup>, Barré Soropogui<sup>3</sup>, Kékoura Ifono<sup>3,4</sup>, Moussa M. Diagne<sup>5</sup>, Mamadou S. Sow<sup>1,10</sup>, Joseph A. Bore<sup>3,11</sup>, Sébastien Calvignac-Spencer<sup>6</sup>, Nicole Vidal<sup>2</sup>, Jacob Camara<sup>3</sup>, Mamadou B. Keita<sup>12</sup>, Annick Renevey<sup>4,7</sup>, Amadou Diallo<sup>5</sup>, Abdoul K. Soumah<sup>1</sup>, Saa L. Millimono<sup>3,4</sup>, Almudena Mari-Saez<sup>6</sup>, Mamadou Diop<sup>5</sup>, Ahmadou Doré<sup>3</sup>, Fodé Y. Soumah<sup>10</sup>, Kaka Kourouma<sup>12</sup>, Nathalie J. Vielle<sup>4,13</sup>, Cheikh Loucoubar<sup>5</sup>, Ibrahima Camara<sup>1</sup>, Karifa Kourouma<sup>3,4</sup>, Giuditta Annibaldi<sup>4,13</sup>, Assaïtou Bah<sup>3</sup>, Anke Thielebein<sup>4,7</sup>, Meike Pahlmann<sup>4,7</sup>, Steven T. Pullan<sup>8,11</sup>, Miles W. Carroll<sup>8,11</sup>, Joshua Quick<sup>14</sup>, Pierre Formenty<sup>15</sup>, Anais Legand<sup>15</sup>, Karla Pietro<sup>16</sup>, Michael R. Wiley<sup>16,17</sup>, Noel Tordo<sup>18</sup>, Christophe Peyrefitte<sup>5</sup>, John T. McCrone<sup>19</sup>, Andrew Rambaut<sup>19</sup>, Youssouf Sidibé<sup>20</sup>, Mamadou D. Barry<sup>20</sup>, Madeleine Kourouma<sup>20</sup>, Cé D. Saouromou<sup>20</sup>, Mamadou Condé<sup>20</sup>, Moussa Baldé<sup>10</sup>, Moriba Povogui<sup>1</sup>, Sakoba Keita<sup>21</sup>, Mandiou Diakite<sup>22,23</sup>, Mamadou S. Bah<sup>22</sup>, Amadou Sidibe<sup>9</sup>, Dembo Diakite<sup>10</sup>, Fodé B. Sako<sup>10</sup>, Fodé A. Traore<sup>10</sup>, Georges A. Ki-Zerbo<sup>13</sup>, Philippe Lemey<sup>24</sup>, Stephan Günther<sup>4,7,13</sup>, Liana E. Kafetzopoulou<sup>4,7,24</sup>, Amadou A. Sall<sup>5</sup>, Eric Delaporte<sup>2,25</sup>, Sophie Duraffour<sup>4,7,13,27</sup>, Ousmane Faye<sup>5,27</sup>, Fabian H. Leendertz<sup>6,27</sup>, Martine Peeters<sup>2,27</sup>, Abdoulaye Toure<sup>1,12,27</sup> & N'. Faly Magassouba<sup>3,27</sup>

# Confirmation virologique du diagnostic

**Diagnostic d'espèce: séquençage  
226 pb dans VP35  
> Ebola Zaire**

## Supplementary Figure 1: Phylogeny of Filoviruses

The ML tree was generated by iQtree with 1000 bootstraps on 226bp fragment of filoviruses VP35 gene. The GTR+G+I nucleotide substitution model was used to infer the phylogeny.



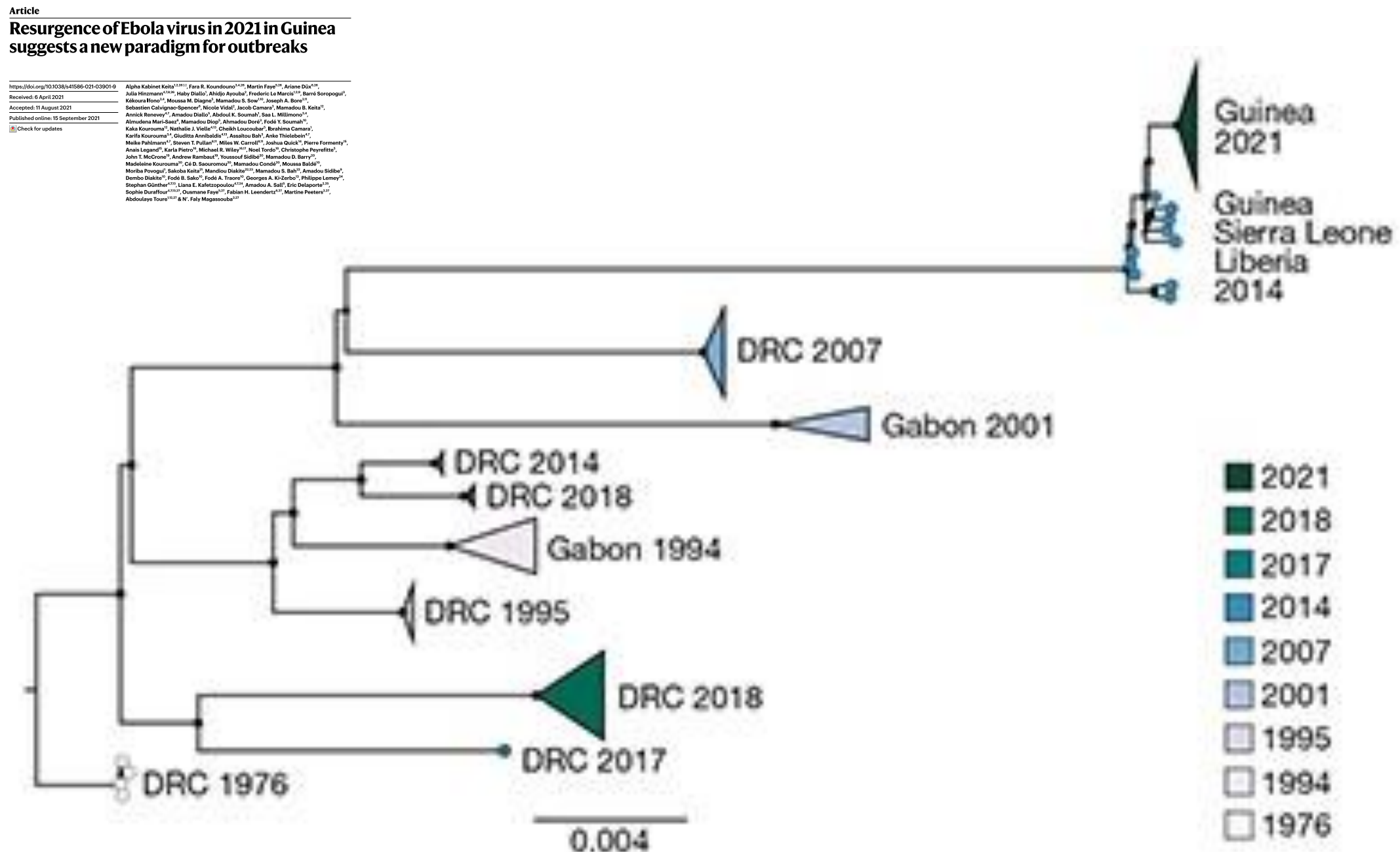
## **Resurgence of Ebola virus in 2021 in Guinea suggests a new paradigm for outbreaks**

<https://doi.org/10.1058/jnls.2016-021-03901-s>

Received: 6 April 2021  
Accepted: 11 August 2021  
Published online: 15 September 2021  


Aleja Kaliste <sup>1,2</sup>, Fabi R. Koudouga <sup>3</sup>, Martin Fartyg <sup>4</sup>, Ariane Dufc <sup>5</sup>,  
Klemens Hennig <sup>1,6</sup>, Philipp A. Aebischer <sup>6</sup>, Przemyslaw M. Luszki <sup>1</sup>, Barbara Sorgopolić <sup>7</sup>,  
Kéroun Nonn <sup>8</sup>, Moussa M. Diagne <sup>9</sup>, Mamadou S. Sou <sup>10</sup>, Joseph B. Rose <sup>11</sup>,  
Sebastien Calvignac-Spencer <sup>12</sup>, Niccolò J. Jacob <sup>13</sup>, Camara Mamadou B. Keita <sup>14</sup>,  
Aminick Renewer <sup>15</sup>, Amadou Diallo <sup>16</sup>, Abdoul B. Soumaï <sup>17</sup>, Sia L. Millimono <sup>18</sup>,  
Aminata Ndiaye <sup>19</sup>, Mamadou S. Sou <sup>20</sup>, Cheikh Tidiane Diakhaté <sup>21</sup>, Cheikh Tidiane Diakhaté <sup>22</sup>,  
Kerfa Kououroum <sup>23</sup>, Giuditta Ambrosini <sup>24</sup>, Alessio Bahl <sup>25</sup>, Anke Thielkehein <sup>26</sup>,  
Meike Palhmann <sup>27</sup>, Steven T. Pullan <sup>28</sup>, Miles W. Carroll <sup>29</sup>, John Chilcik <sup>30</sup>, Pierre Formenty <sup>31</sup>,  
Analis Legrand <sup>32</sup>, Kara Pietro <sup>33</sup>, Michael R. Wiley <sup>34</sup>, Neil Toraldo <sup>35</sup>, Christophe Peyrefitte <sup>36</sup>,  
John P. McPhee <sup>37</sup>, Andrew D. Dobson <sup>38</sup>, Yannick Sidibe <sup>39</sup>, Daniel G. Bausch <sup>40</sup>,  
Madeleine Dabiré <sup>41</sup>, Dr. O. Sauerhoff <sup>42</sup>, Mamadou S. Baldé <sup>43</sup>, Mamadou S. Baldé <sup>44</sup>,  
Moriba Pouyougou <sup>45</sup>, Sakoula Kelta <sup>46</sup>, Muriel Dakikoff <sup>47,48</sup>, Mamadou S. Baldé <sup>49</sup>, Amadou Sidibé <sup>50</sup>,  
Demba Diakhaté <sup>51</sup>, Fodé Balo <sup>52</sup>, Fodé A. Traoré <sup>53</sup>, Georges A. Ki-Zero <sup>54</sup>, Philippe Lemey <sup>55</sup>,  
Stephan Günther <sup>56</sup>, Liane E. Kampepopoulou <sup>57</sup>, Amadou A. Sall <sup>58</sup>, Eric Delaporte <sup>59</sup>, Sophie Duraffour <sup>60</sup>, Odilean Fayard <sup>61</sup>, Fabien H. Leandertz <sup>62</sup>, Martine Peeters <sup>63</sup>,  
Cecilia C. D'Unger <sup>64</sup>, Pauline G. D'Unger <sup>65</sup>, Daniel G. Bausch <sup>66</sup>, Daniel G. Bausch <sup>67</sup>.

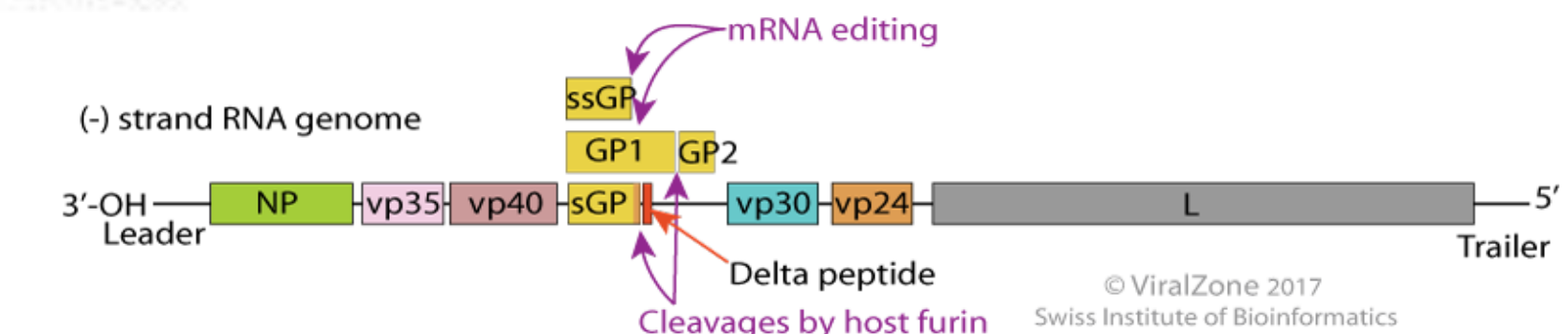
# Séquençage génome complet - résultats



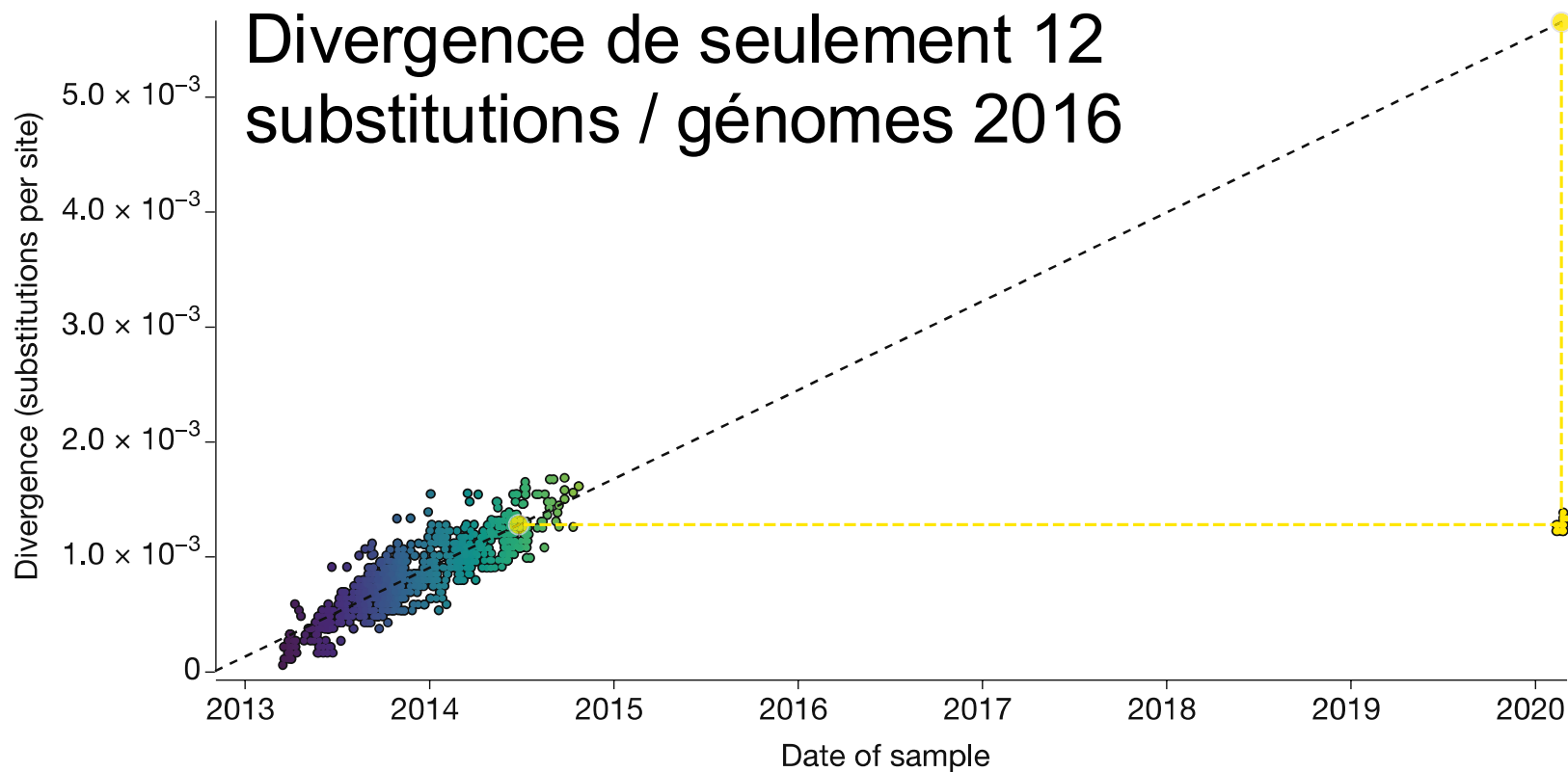
**Fig. 1 | Maximum likelihood phylogenetic reconstruction for 55 representative genomes from previous outbreaks of *Zaire ebolavirus* and 12 genomes from the 2021 outbreak in Guinea.** Most clades for single or multiple closely related outbreaks are collapsed and internal node support is proportional to the size of the internal node circles. The clades or tip circles are labelled with the locations and years of the outbreaks, and coloured according to the year of detection.

Les 12 génomes forment un cluster au sein des souches de l'épidémie de 2014-2016

Présence de 10 mutations/substitutions nucléotidiques caractéristiques des souches ayant émergé pendant l'épidémie de 2014-16  
+++ A82K dans glycoprotéine

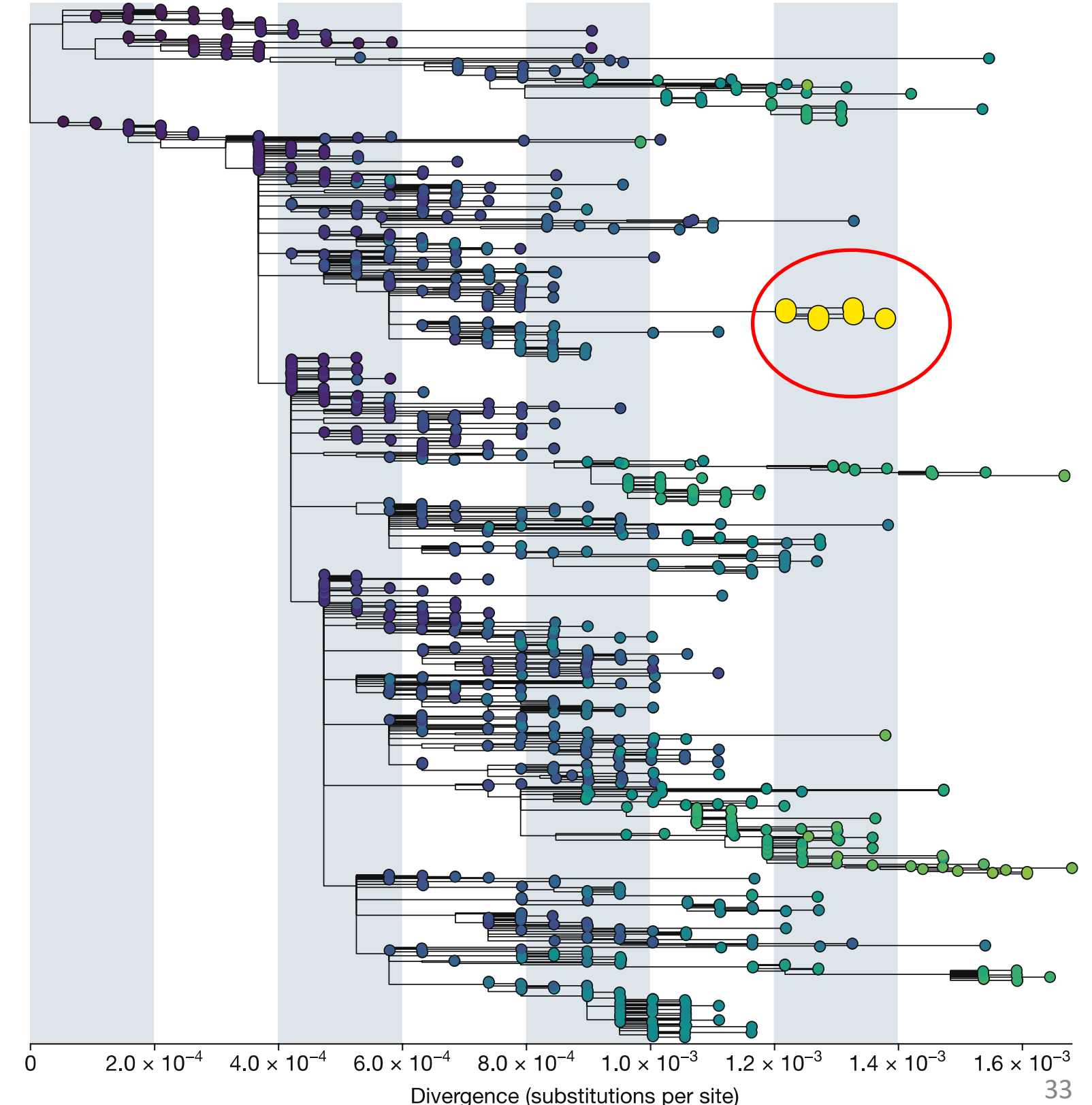


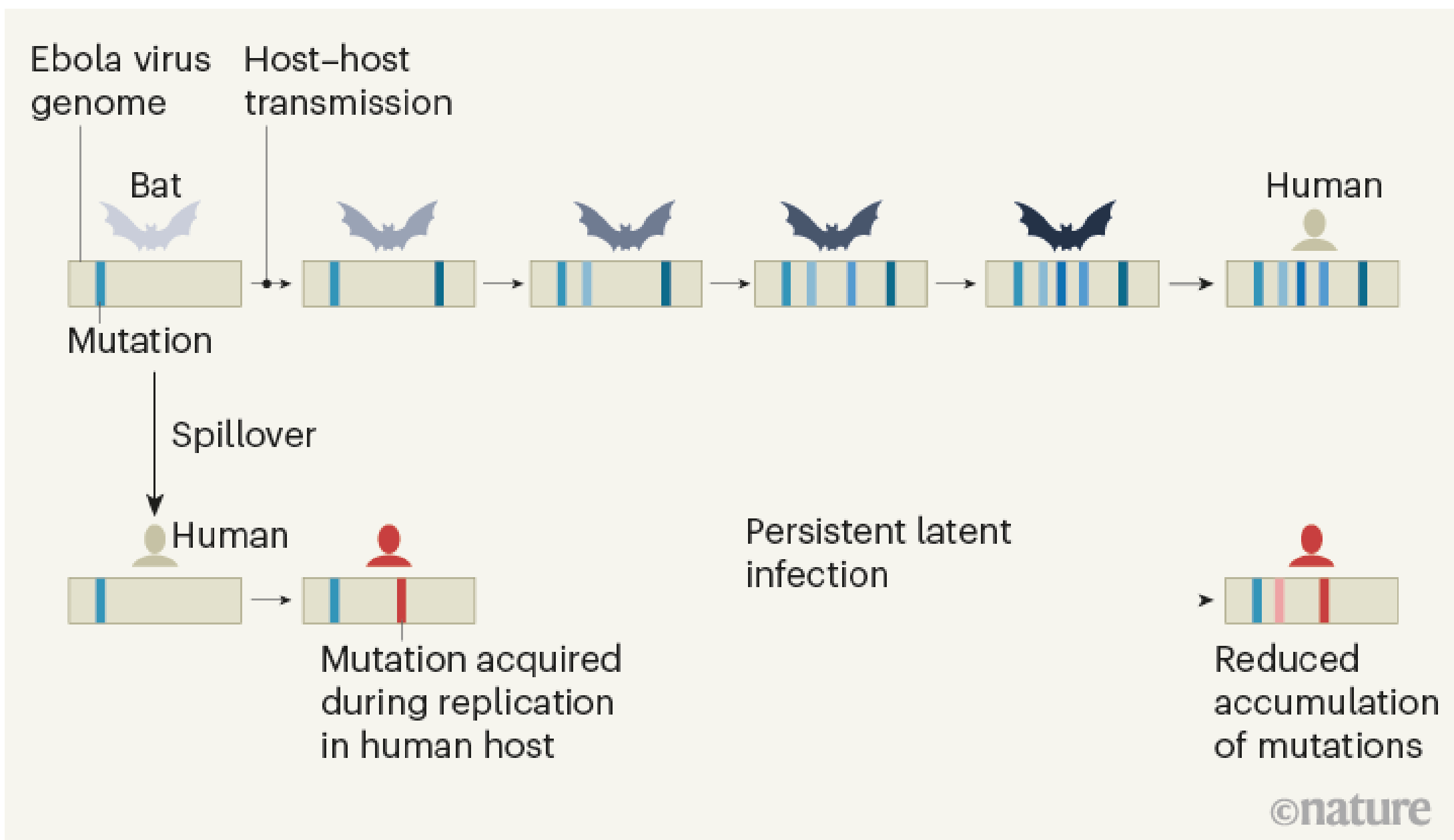
# Séquençage génome complet



**Fig. 3 | Temporal divergence plot showing genetic divergence from the root over time.** This plot relates to the tree shown in Fig. 2. The regression is exclusively fitted to genomes sampled between 2014 and 2015. The same colours are used for the data points as in Fig. 2. The dashed yellow lines highlight how the 2021 data points deviate from the relationship between sampling time and sequence divergence. According to this relationship, about 95 substitutions (95% prediction interval: 88–101) are expected on the branch ancestral to the 2021 cluster, whereas only 12 are inferred on this branch.

**Fig. 2 | Maximum likelihood phylogenetic reconstruction for 1,065 genomes sampled during the 2013–2016 West African outbreak and 12 genomes from the 2021 outbreak in Guinea.** A colour gradient (from purple





- L'analyse phylogénétique est en faveur de la réémergence d'une souche humaine datant de l'épidémie 2014-2016, pas d'une nouvelle transmission d'origine zoonotique
- Hypothèses:
  - Transmission par voie sexuelle (persistance possible dans le sperme des survivants)
  - Contact avec liquides biologiques d'un survivant de l'épidémie précédente qui réactive?
  - Réactivation d'un virus persistant chez le cas index
- Mécanismes de persistance
  - Latence? RéPLICATION à bas bruit ?
  - Sites de persistance? >détection possible de l'ARN viral dans le sperme pendant mois/années après infection

# Pourquoi faire de l'épidémiologie moléculaire ?

